

# Ondelette Hypercomplexe

P. Carré

Laboratoire XLIM-SIC, UMR CNRS 7252

[philippe.carre@univ-poitiers.fr](mailto:philippe.carre@univ-poitiers.fr)

Thèse R. Soulard 2012

Grenoble 11 octobre 2012



# But

---

## La définition d'une transformée en ondelette pour les images

La représentation doit permettre une analyse fine de l'information 2-D

- Lien avec des notions physiques : redéfinir la notion analytique
- De nouvelles informations
- Apporter de nouvelles propriétés : invariance, directionnalité, couleur
- La reconstruction parfaite doit être assurée, représentation redondante
- Cette représentation doit être associée avec un algorithme numérique rapide et stable

# Contexte : transformation

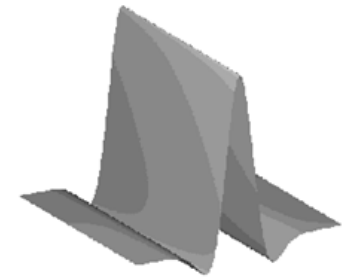
## 2-D : une réponse géométrique par bases fixes

Transformée géométrique à fonctions d'analyse fixes

$$r(a, b, \theta) = \int_{\mathbb{R}^2} \psi_{a,b,\theta}(\mathbf{x}) s(\mathbf{x}) d\mathbf{x}$$

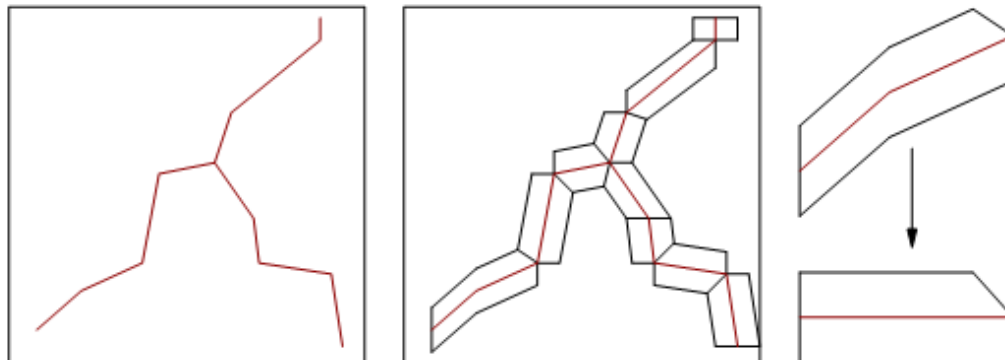
Fonction « adaptée »

➔ Ridgelet



## 2-D : une réponse géométrique par bases adaptatives

Transformées adaptatives



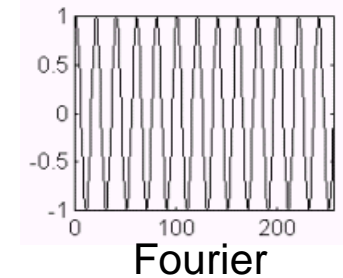
Bandelettes  
et extensions



# Base fixe

**Transformation d'un signal nD** : changement de base permettant d'obtenir une autre représentation des données (démarche non structurée)

1. Définition de fonctions (formes) constituant la base

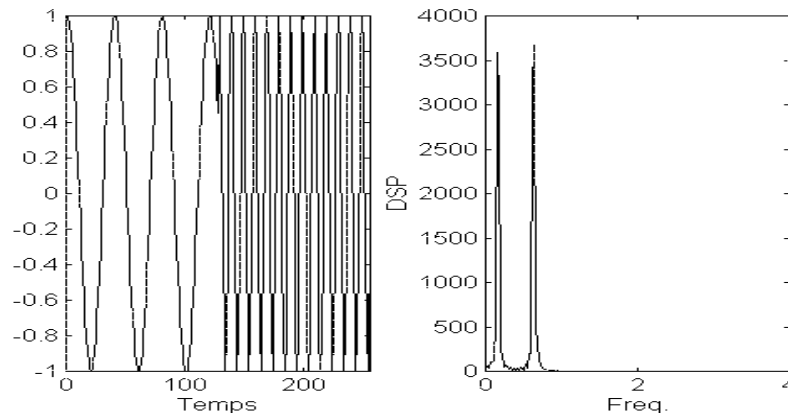


2. Mesures de ressemblances entre les données et les fonctions de bases

☞ Transformée (produit scalaire)

**But de la nouvelle représentation**

☞ Extraire d'une façon optimale l'information présente dans les données

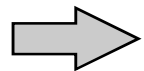
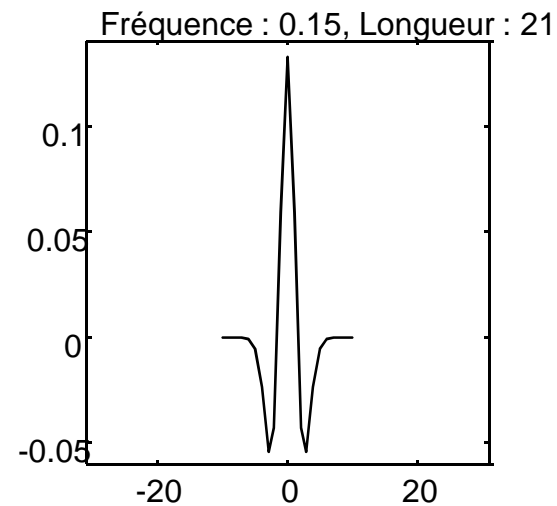
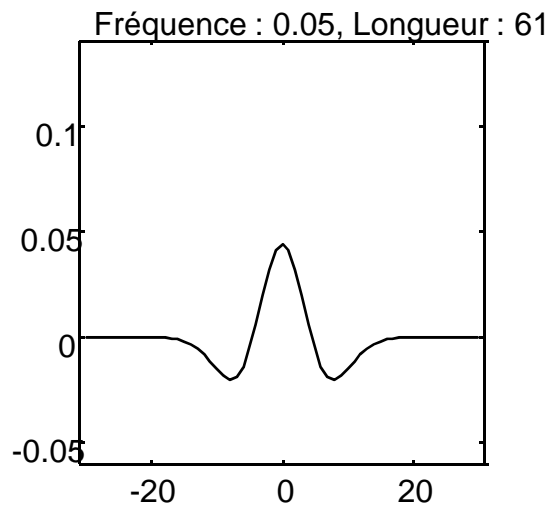




# Contexte : ondelette

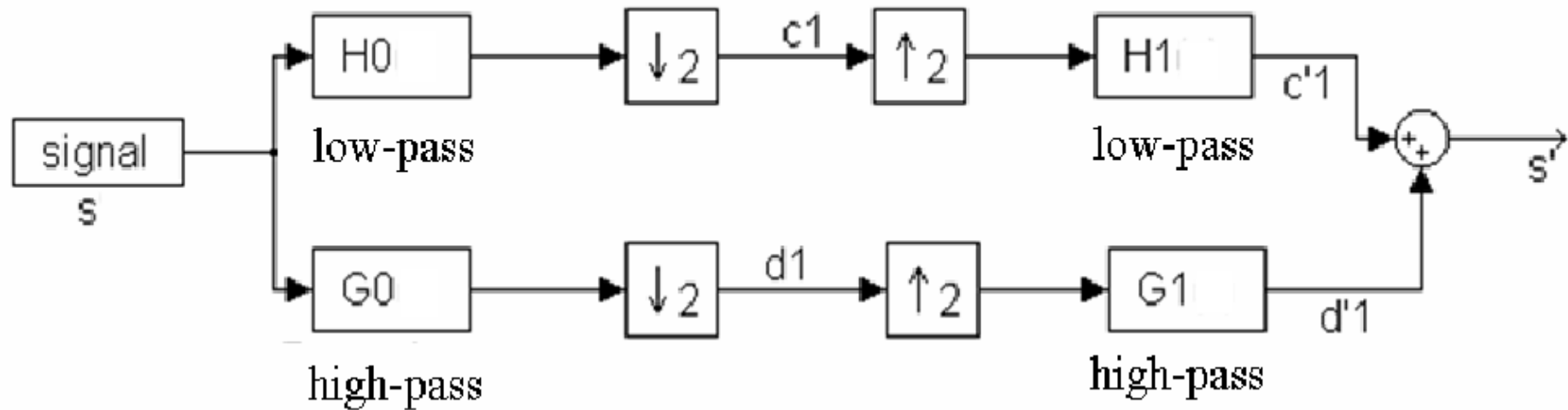
## Idée

- Définir des fonctions de bases localisées spatialement et associées à une fréquence d'oscillation précise
- Adapter la taille des fenêtres en fonction de la fréquence étudiée



Construction de bases discrètes orthogonales avec reconstruction

# Algorithme rapide

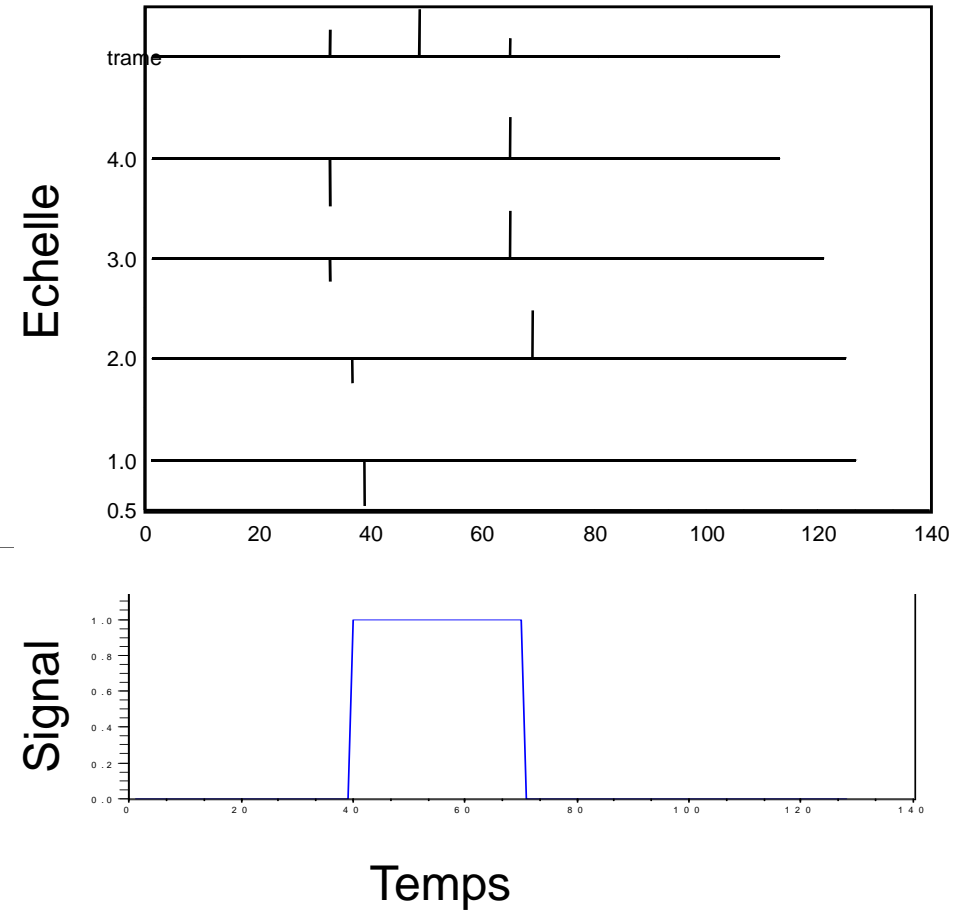


Un ensemble de filtres liés par des opérateurs de ré-échantillonnage

$$s' = s$$



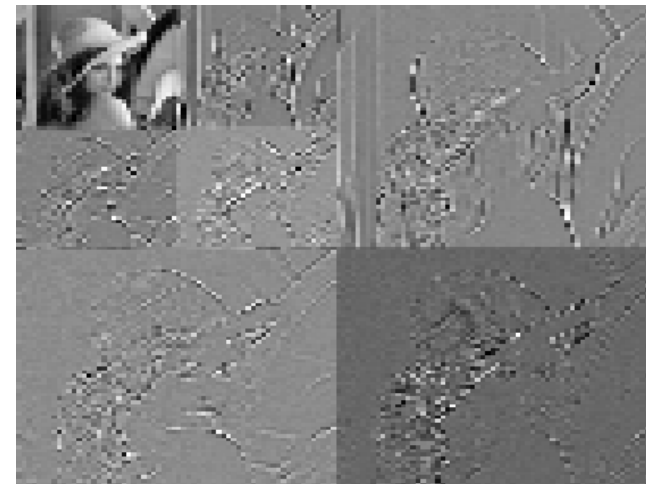
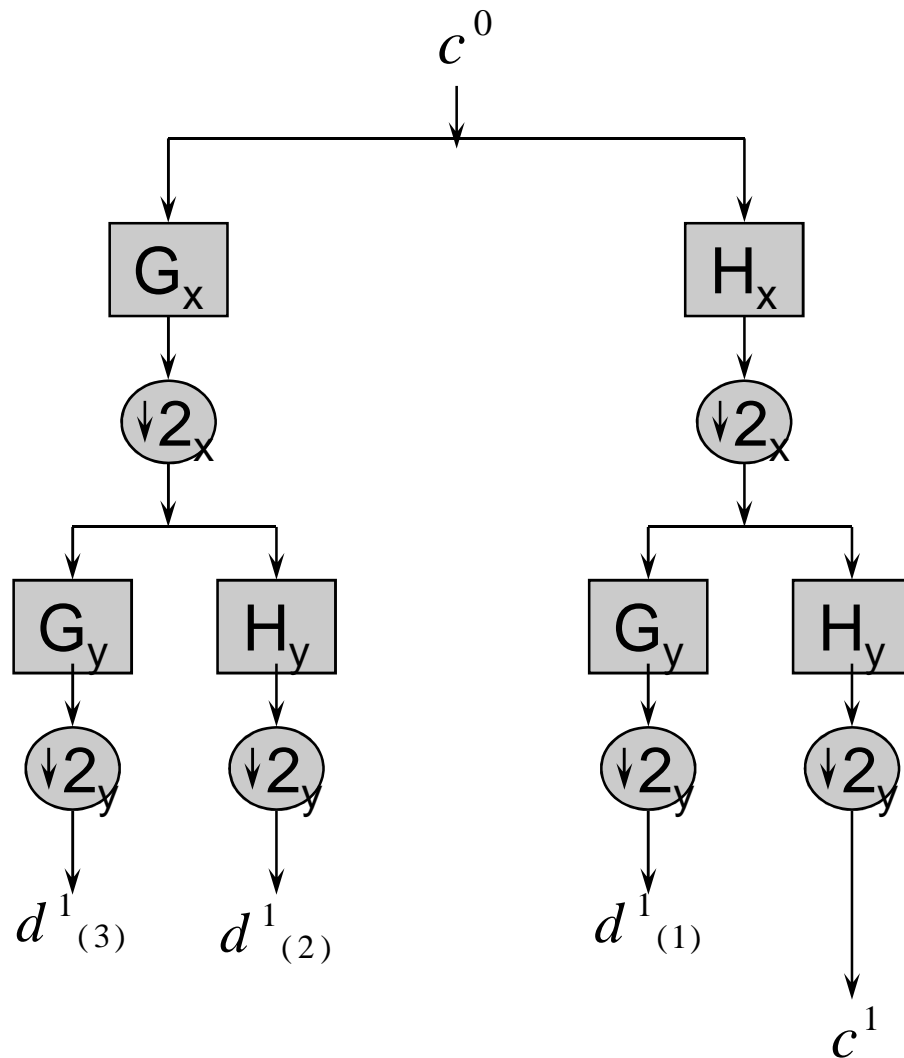
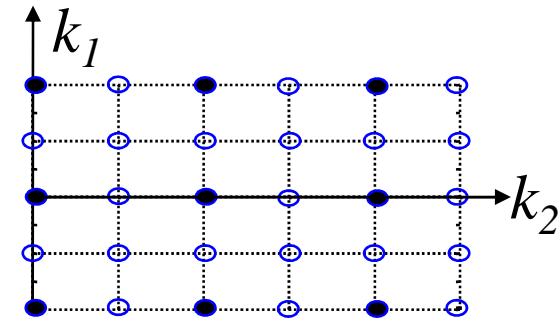
# Singularités



# Décomposition séparable

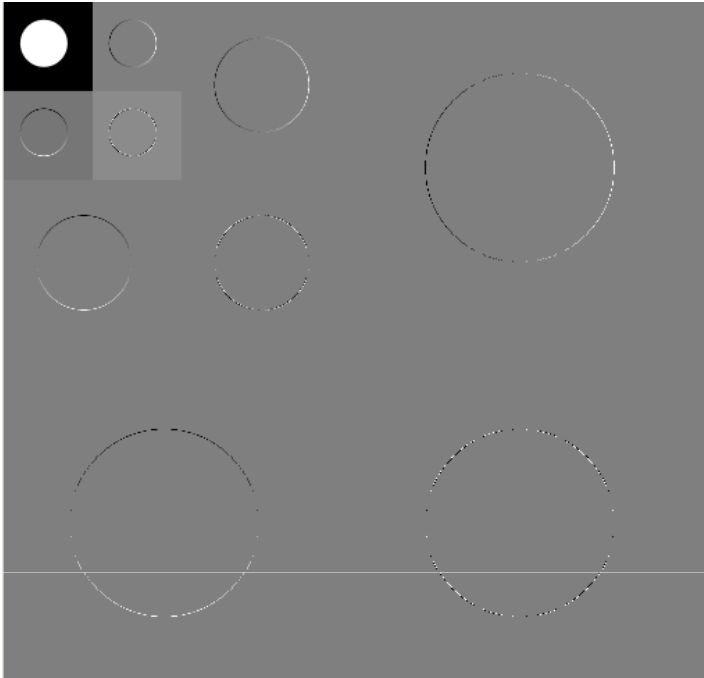
Dilatation séparable

$$D = \begin{pmatrix} 2 & 0 \\ 0 & 2 \end{pmatrix}$$



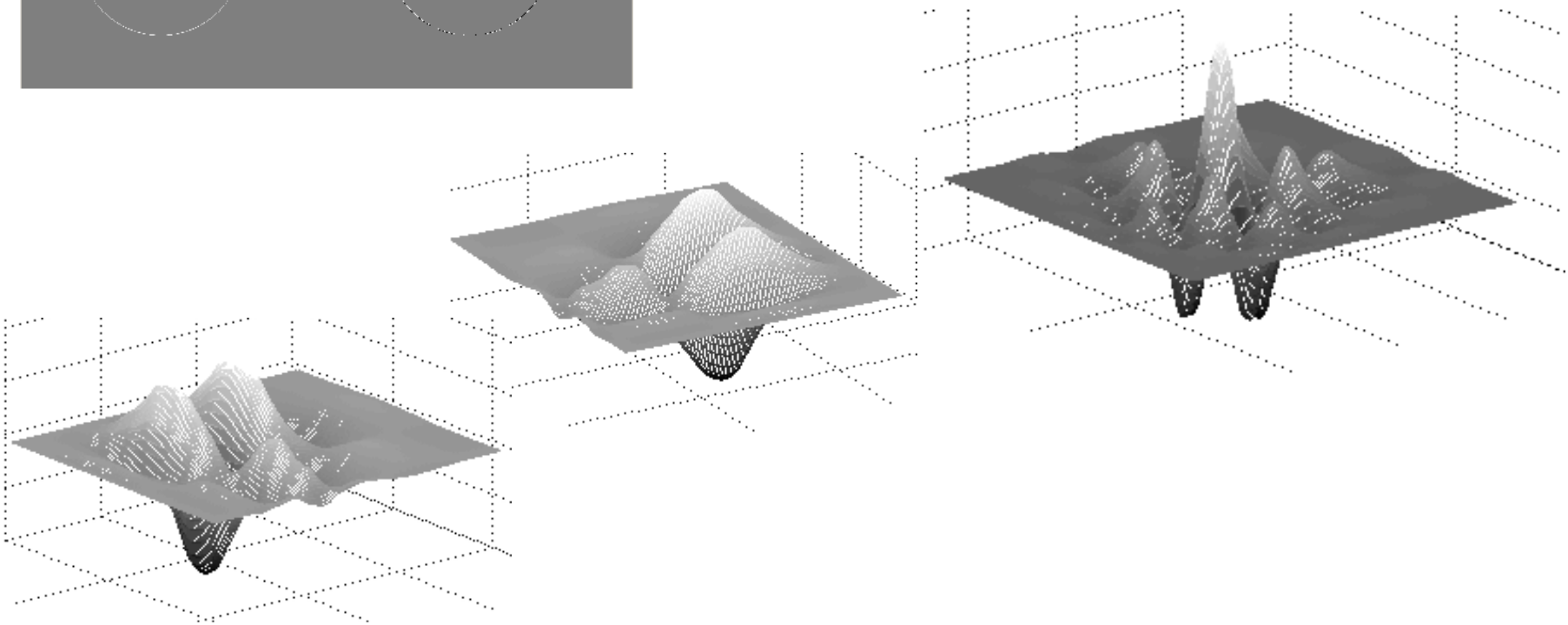


# Discontinuités 2-D



Ondelettes meilleures que Fourier mais

- Détectent les singularités pas la structure contour
- Directions privilégiées
- Trois plans d'ondelettes par échelle

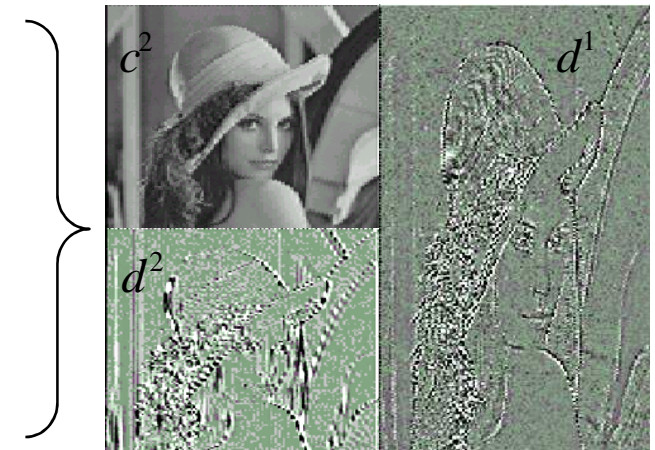
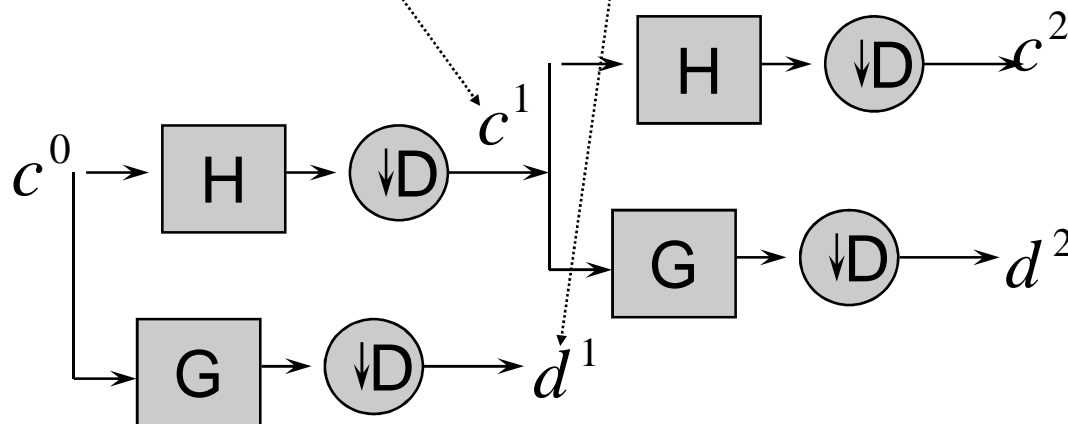
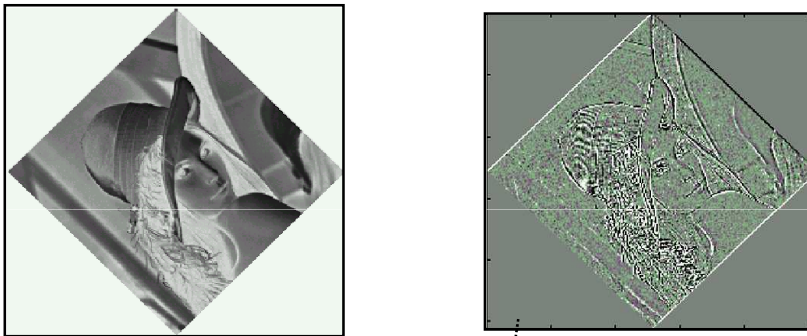
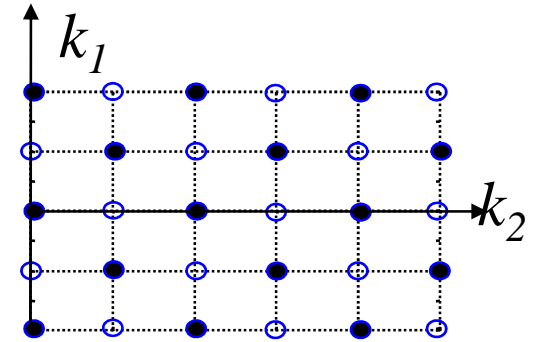




# Exemple de décomposition à 2 canaux

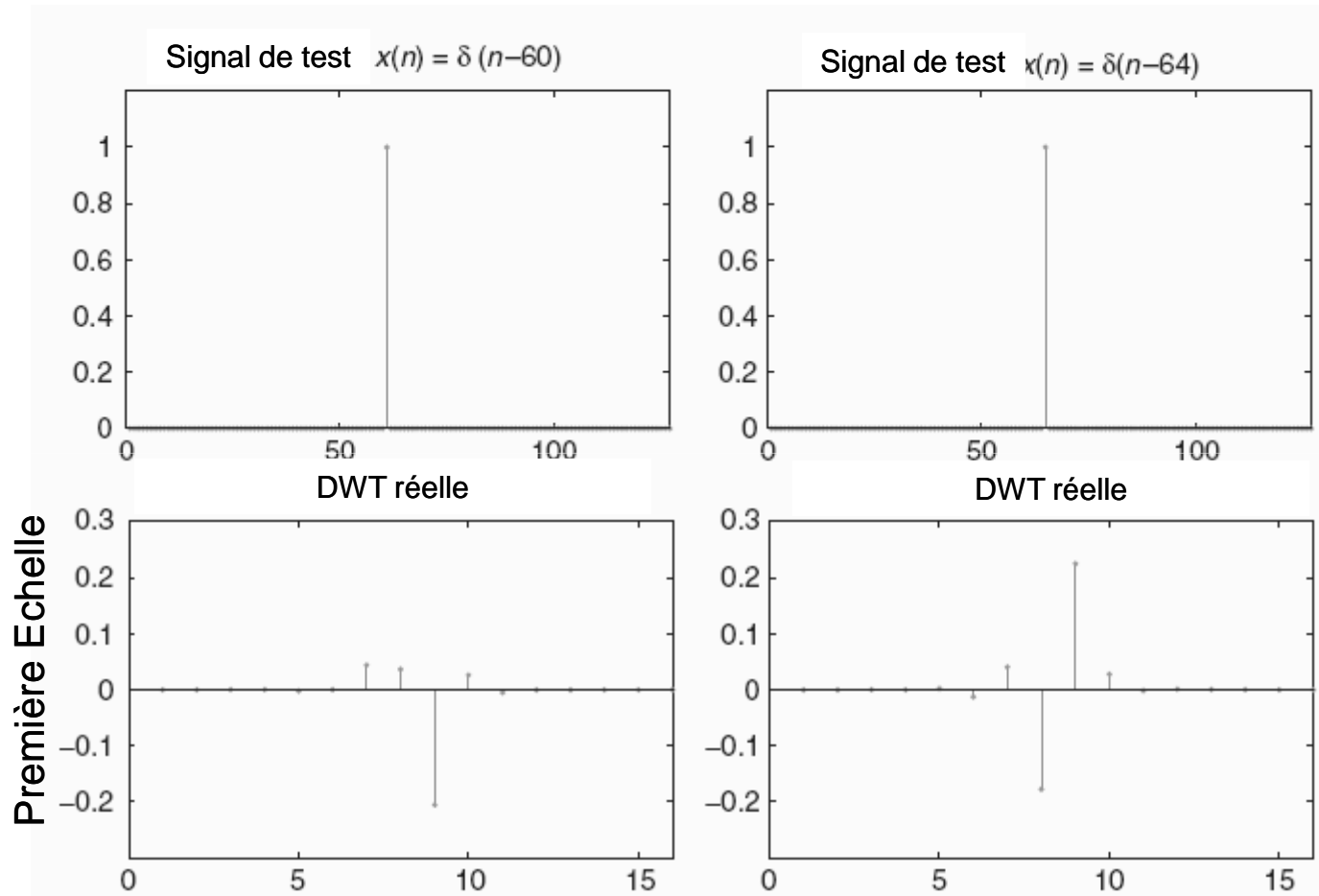
Dilatation en quinconce

$$D = \begin{pmatrix} 1 & 1 \\ 1 & -1 \end{pmatrix}$$





# Problème avec la transformée en ondelette réelle



Oscillations ; Sensibilité à la translation ; Problème de direction pour la transformée 2-D



---

# Ondelette Complexe

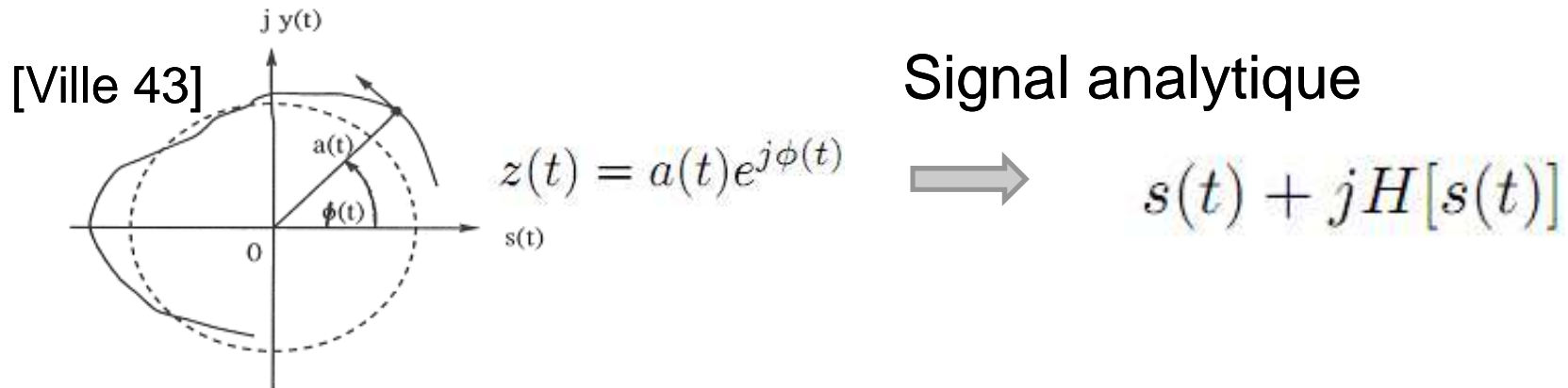
Bülow : Signal Analytique

Kingsbury : Shift invariant



# Retour aux sources

## Outils Temps-Fréquence : notion de phase, fréquence et énergie instantanée



Signal analytique : obtenu par suppression des fréquences négatives

Calcul du signal analytique  $s_a : \mathbb{R} \rightarrow \mathbb{C}$

$$S_a(f) = (1 + \text{sign}(f))S(f)$$

Transformée de Hilbert

$$s_a(t) = s(t) + j s_H(t)$$

$G(f) = -j \text{sign}(f)$

Fonctions de même module mais déphasées de  $90^\circ$

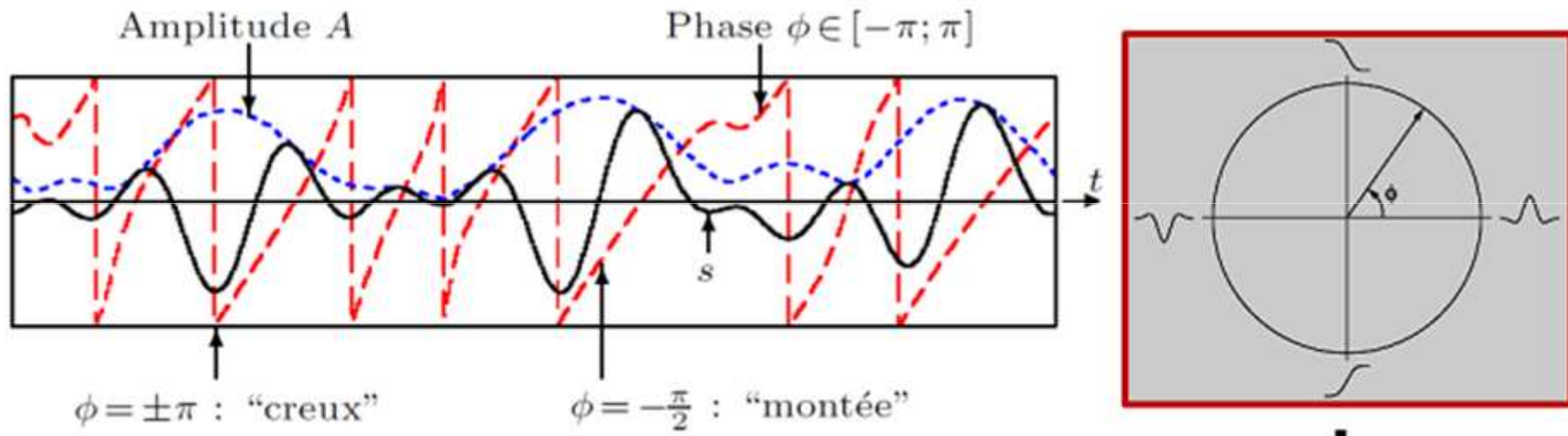


# Notion de phase

Energie locale  $\|s_a(t)\|$

Phase locale  $\phi(t) = \arg s_a(t)$

Fréquence instantanée



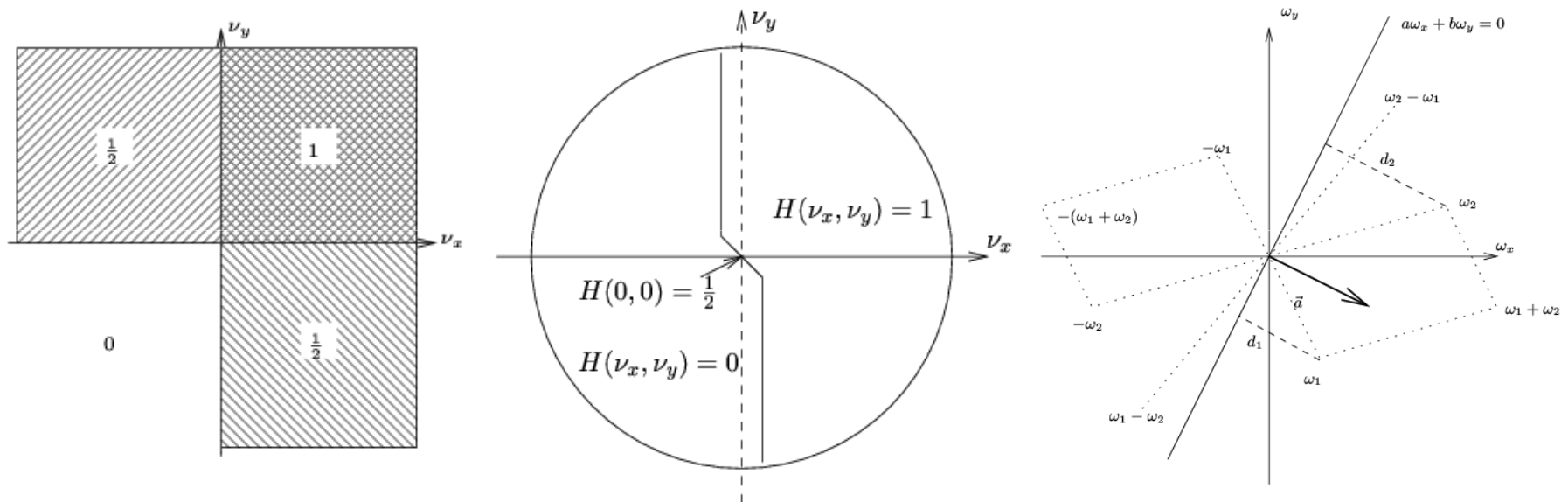
La phase locale permet une analyse des structures du signal

Pic  $\phi(t) = 0$       Trou  $\phi(t) = \pi$       Pente  $\phi(t) = \pm \frac{\pi}{2}$



# Notion de base : signal analytique

Extension 2-D ??? : notion de fréquences négatives





## Limites des ondelettes réelles : Comparaison avec Fourier

---

Le module de Fourier n'oscille pas

Le module de Fourier est invariant à la translation

Les fonctions de base de Fourier 2-D sont directionnelles

Paire de Hilbert

Notion de phase

$$S(f) = \int s(t) \cos(2j\pi ft) dt + j \int s(t) \sin(2j\pi ft) dt$$

$$w_{j,k} = \int s(t) \psi_{j,k}(t) dt$$

Fonction réelle oscillante

- Construction d'une paire de Hilbert



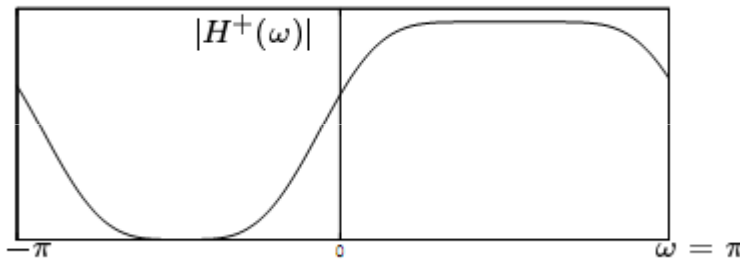
# Calcul de la transformée complexe discrète 1-D ?

Solution : calcul du signal analytique avant analyse

⇒ Réponse impulsionnelle infinie

Le support des fonctions analysantes devient très grand

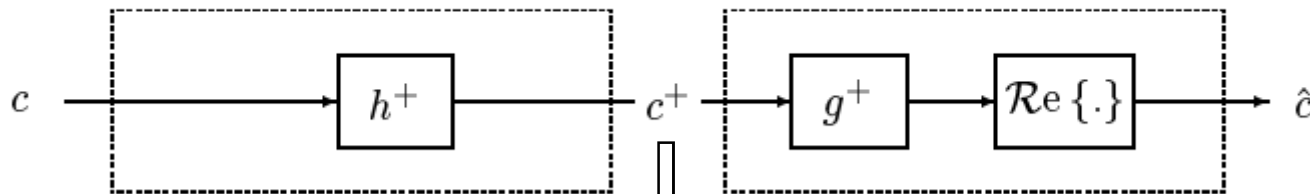
Solution de Fernandes et al. projection dans l'espace « **Softy** »



Filtre passe-bas : translation fréquentielle

$$H^+(z) = H_0(-jz), \text{ Analyse}$$

$$G^+(z) = G_0(-jz). \text{ Synthèse}$$



DWT

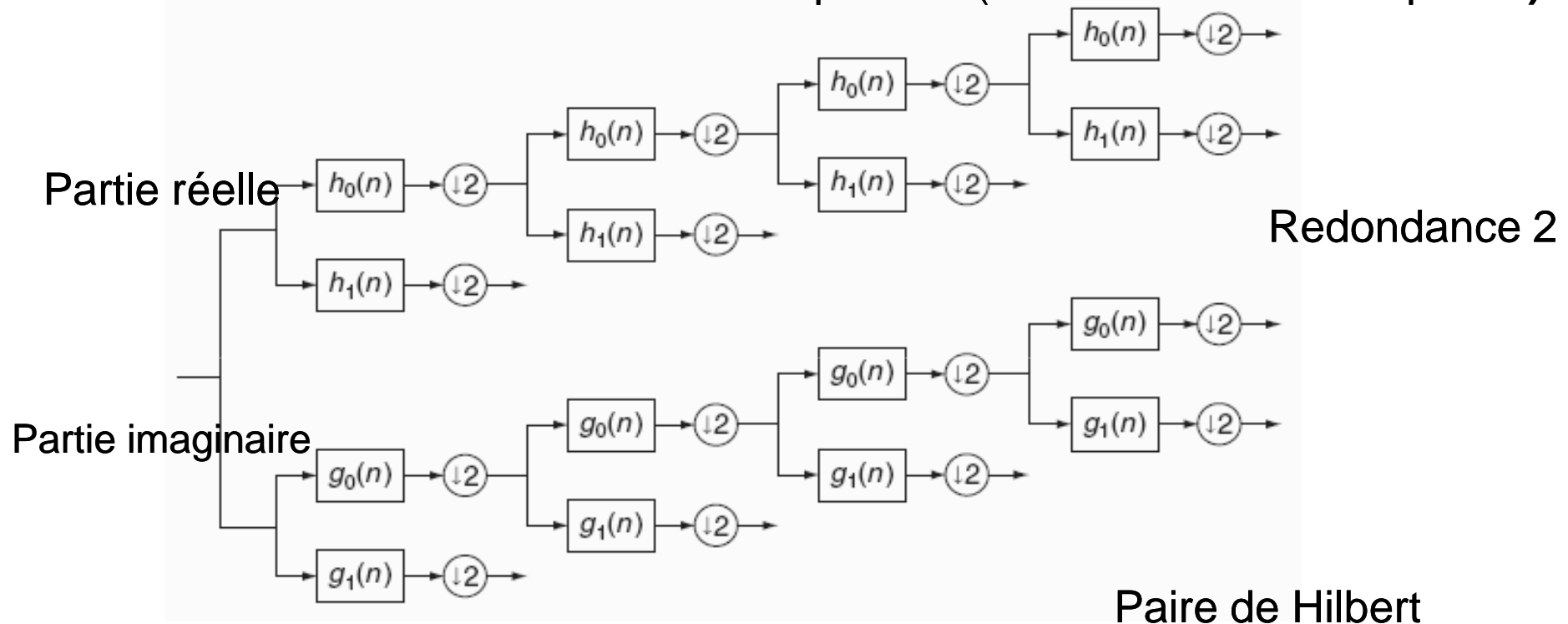
Représentation quasi-invariante  
par translation  
Représentation redondante



# Calcul de la transformée complexe 1-D ?

Solution de Kingsbury et al. : calcul par arbre dual

2 bancs de filtres à reconstruction parfaite (et conditions «classiques »)



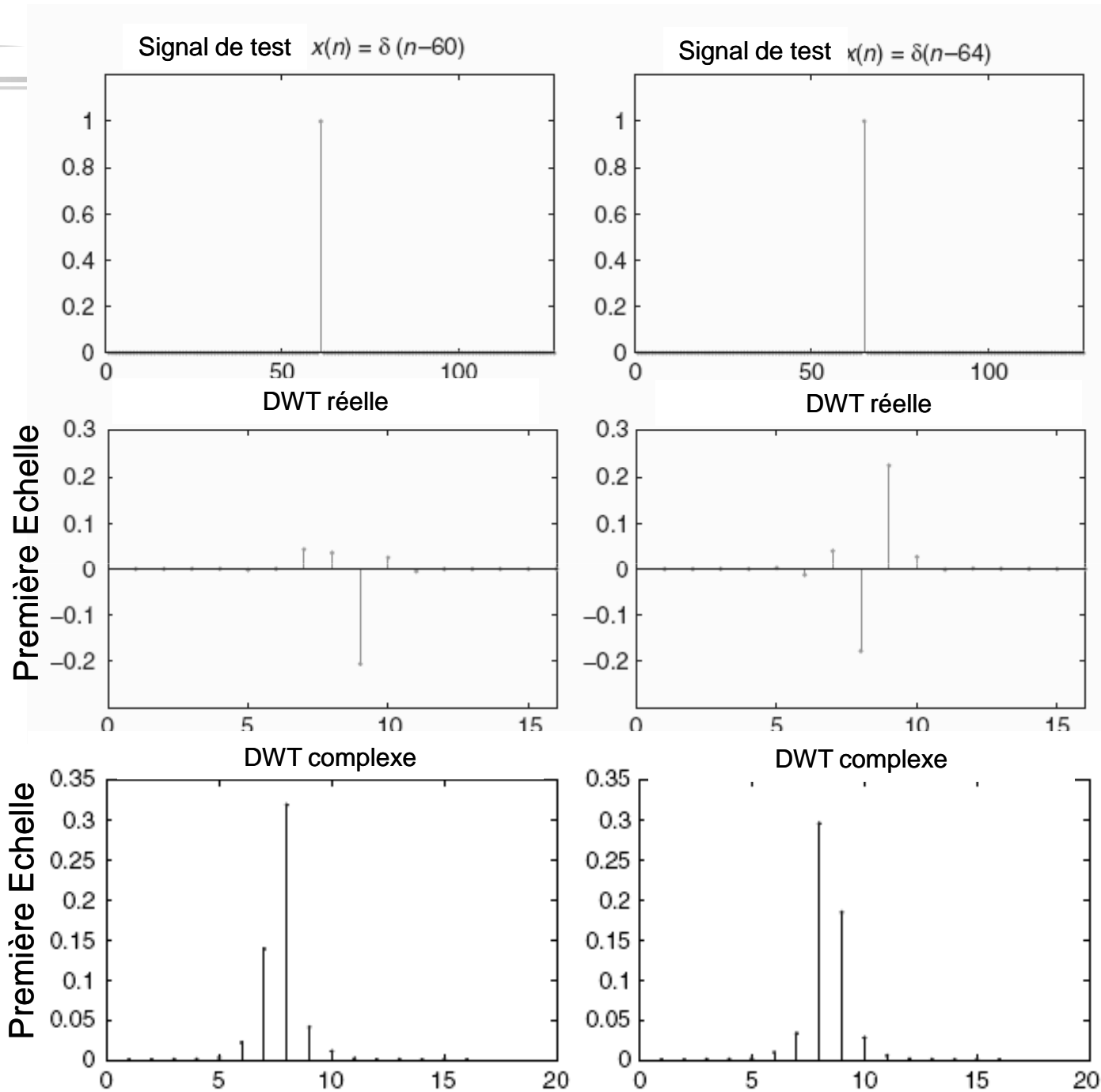
Contrainte : les filtres doivent être définis afin qu'ils vérifient

$$\psi(t) = \psi_h(t) + j\psi_g(t)$$

Mais aussi les autres contraintes de reconstruction parfaite, de support fini.

Ces contraintes peuvent être antagonistes

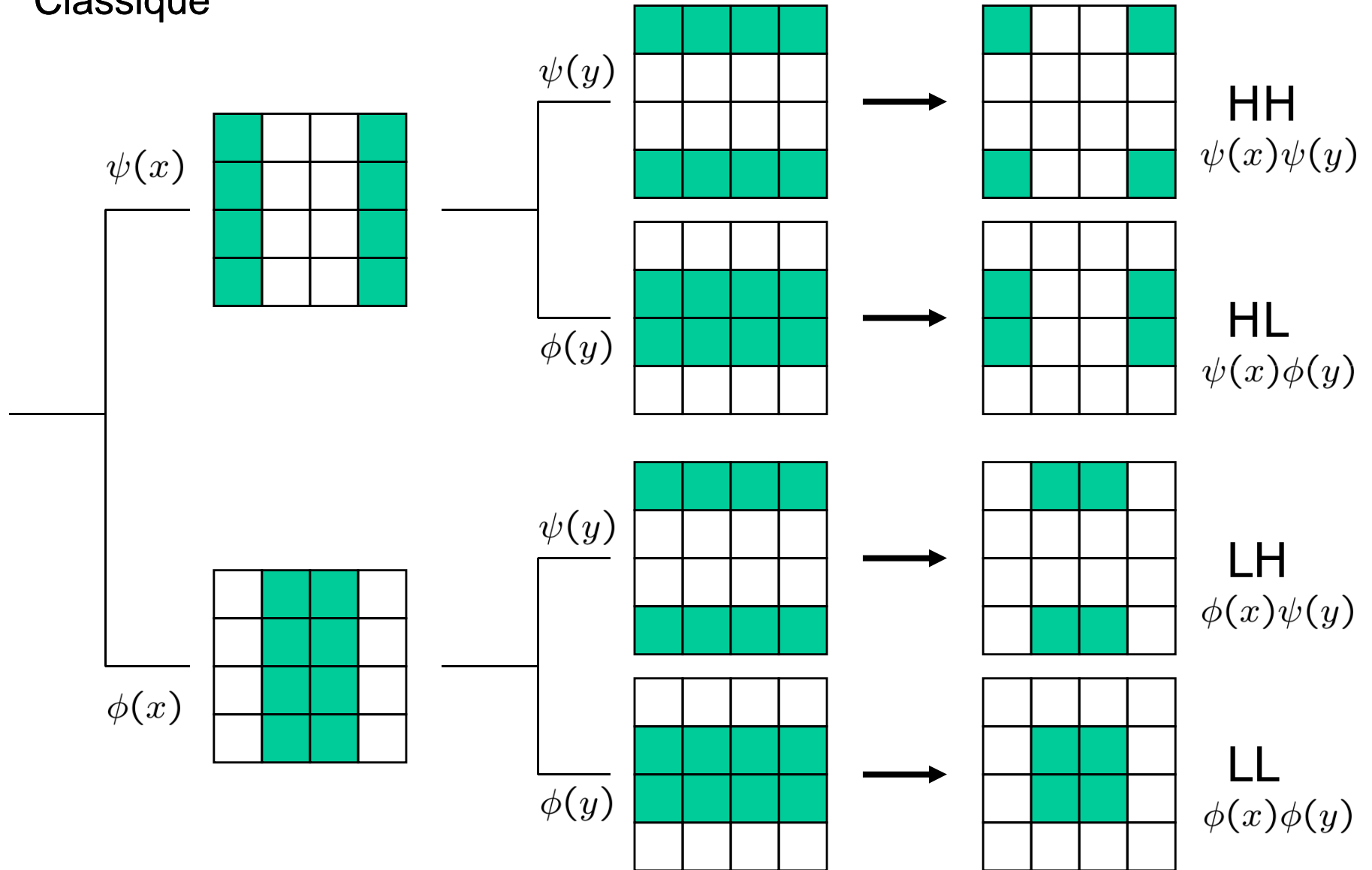
Selesnick





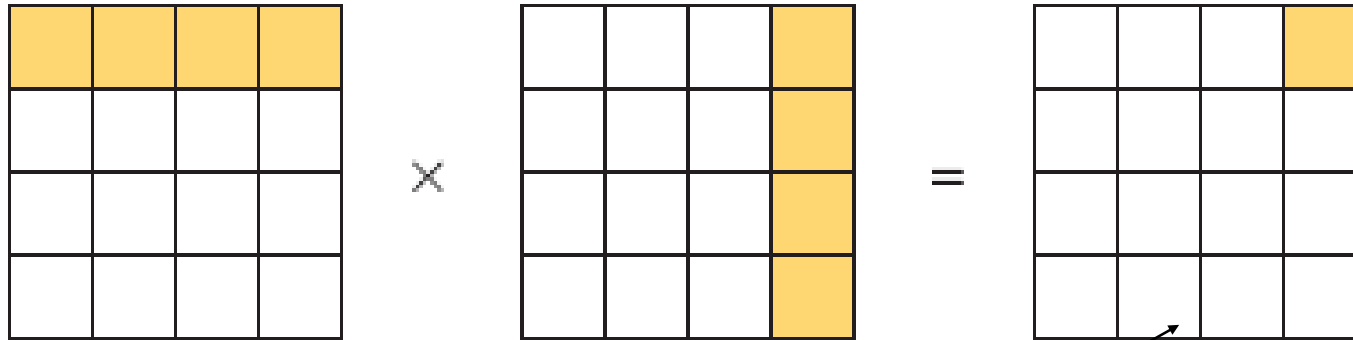
# 2D ???

Classique





# Arbre Double 2D : analyse orientée

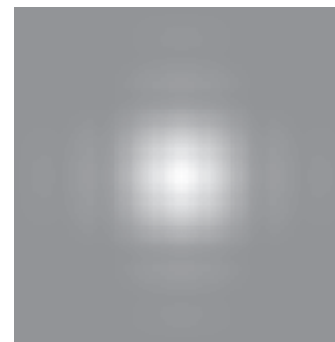
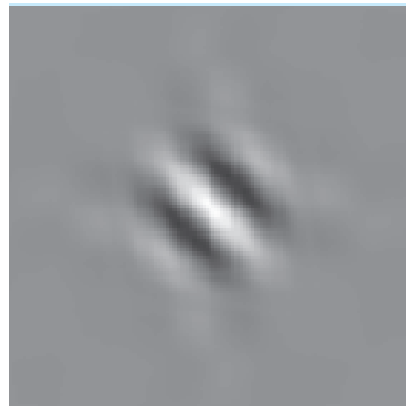
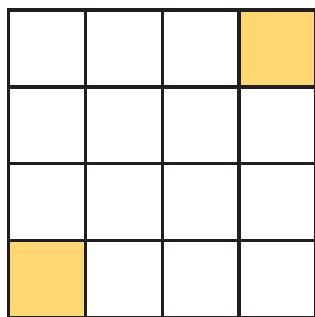


$$\psi(x) = \psi_h(x) + j\psi_g(x) \quad \psi(y) = \psi_h(y) + j\psi_g(y)$$

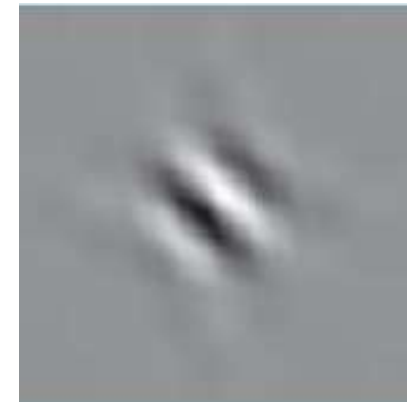
$$\psi(x, y) = \underbrace{\psi_h(x)\psi_h(y) - \psi_g(x)\psi_g(y)}_{\text{Partie réelle}} + j \underbrace{[\psi_g(x)\psi_h(y) + \psi_h(x)\psi_g(y)]}_{\text{Partie imaginaire}}$$

Partie réelle

Partie imaginaire



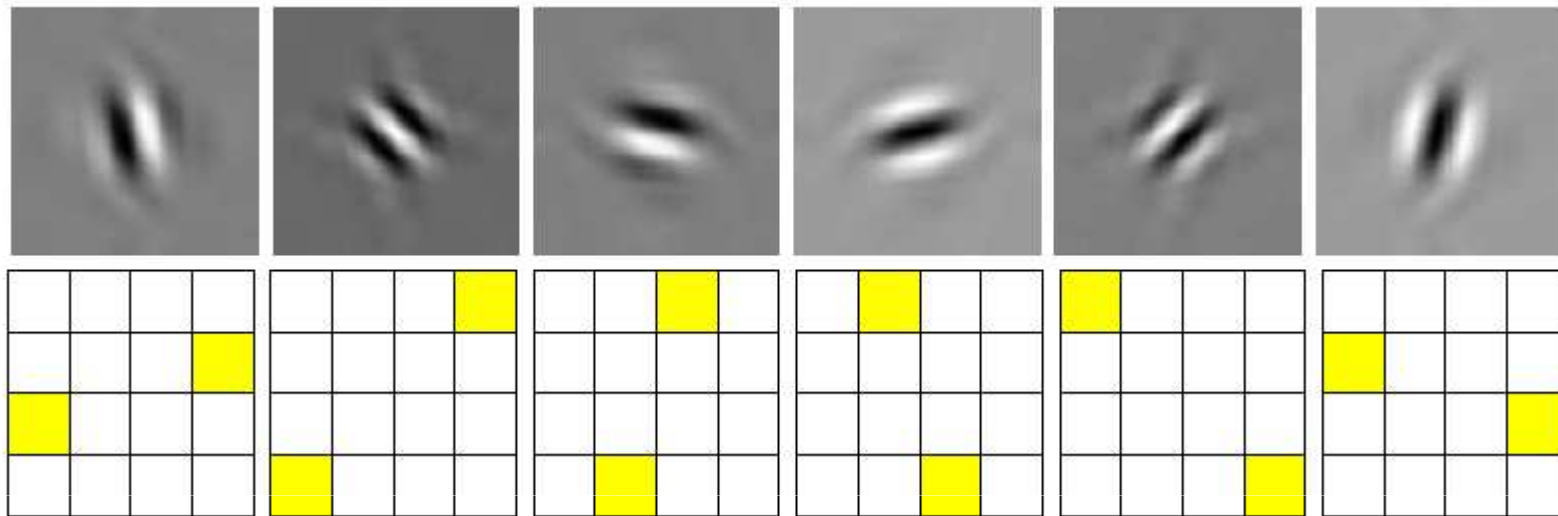
Envelope





# Fonction analysante réelle et complexe

## Construction des 6 différentes combinaisons



Arbre dual 2-D orienté et réel

$$\begin{aligned} \psi_i(x, y) &= \frac{1}{\sqrt{2}}(\psi_{1,i}(x, y) - \psi_{2,i}(x, y)), & \psi_{1,1}(x, y) &= \phi_h(x) \psi_h(y), & \psi_{2,1}(x, y) &= \phi_g(x) \psi_g(y), \\ \psi_{i+3}(x, y) &= \frac{1}{\sqrt{2}}(\psi_{1,i}(x, y) + \psi_{2,i}(x, y)) & \psi_{1,2}(x, y) &= \psi_h(x) \phi_h(y), & \psi_{2,2}(x, y) &= \psi_g(x) \phi_g(y), \\ & & \psi_{1,3}(x, y) &= \psi_h(x) \psi_h(y), & \psi_{2,3}(x, y) &= \psi_g(x) \psi_g(y). \end{aligned}$$

$i=1,2,3$

Représentation complexe (« **analytique** ») : utilisation de la partie réelle et partie imaginaire



## Première application

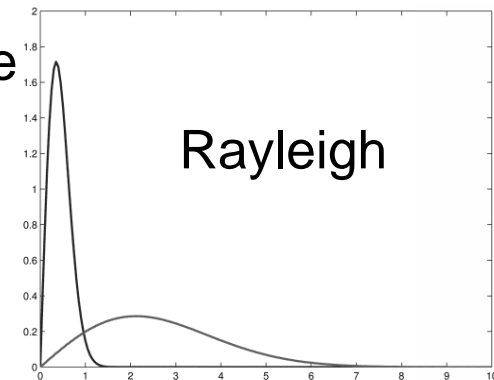
Résout le problème de la variance par translation

Kingsbury

Moins redondante qu'une transformée non-décimée, analyse orientée

Première génération : seuillage selon le module

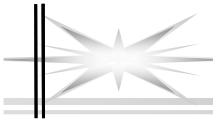
⇒ Résultat similaire à UWT



Evolution : intégration de la dimension Phase

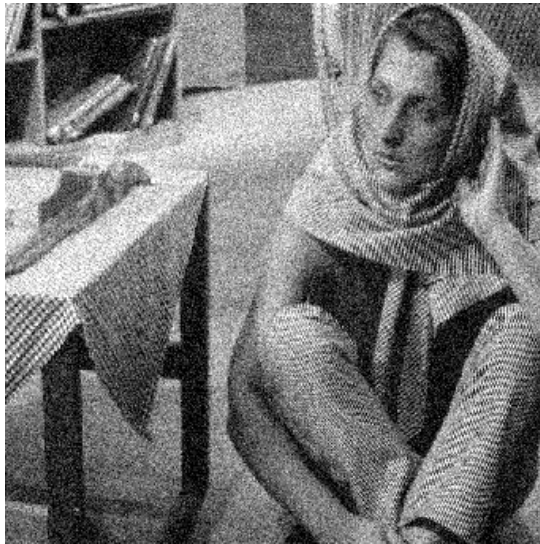
Utilisation du mélange de Gaussienne

Introduit par Portilla (Steerable pyramid)



# Applications des Ondelettes Complexe : débruitage

Noisy image



Standard GSM denoising



Dual model GSM denoising



Introduction de  
l'information de phase





## Classification de texture

Majorité des cas : estimation d'un paramètre selon le module des différentes orientations

Quelques travaux modélisant la phase (par exemple Vo étudie la différence de phase)

Distribution circulaire : Von Mises, Cauchy

Intégration de mesures sur la phase dans le descripteur

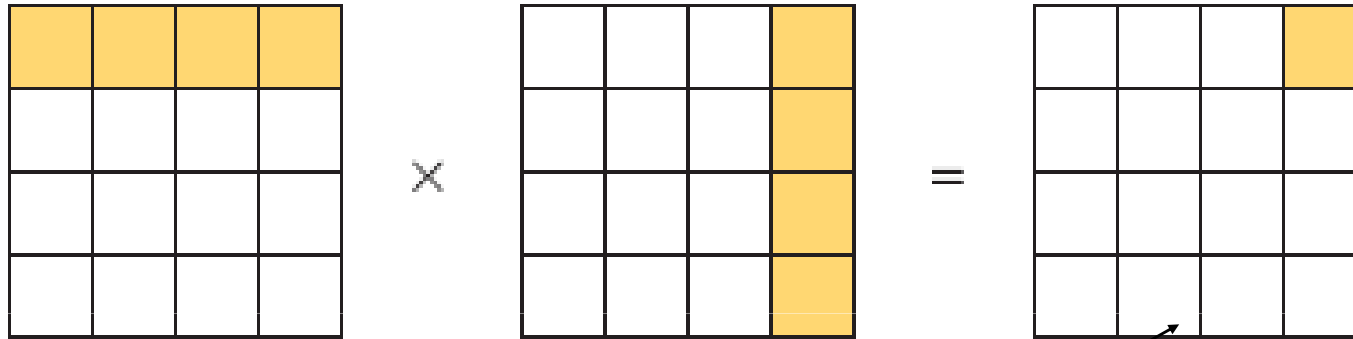
Définition d'une distance sur une mesure angulaire

⇒ Amélioration du taux de classification



## Retour à la question d'origine

Et Hilbert (Ondelette analytique 2-D) ?



$$\psi(x) = \psi_h(x) + j\psi_g(x) \quad \psi(y) = \psi_h(y) + j\psi_g(y)$$

$$\psi(x, y) = \underbrace{\psi_h(x)\psi_h(y) - \psi_g(x)\psi_g(y)}_{\text{Partie réelle}} + j \underbrace{[\psi_g(x)\psi_h(y) + \psi_h(x)\psi_g(y)]}_{\text{Partie imaginaire}}$$

Partie réelle

Partie imaginaire

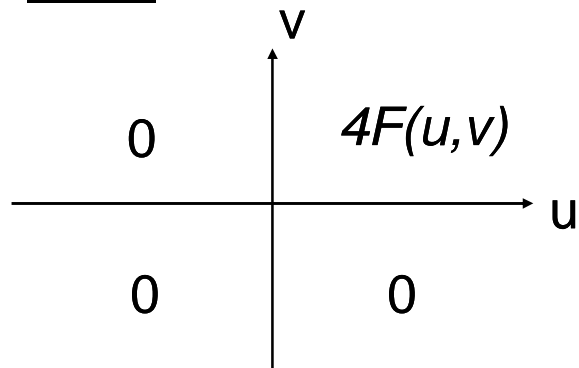
Hilbert ?



## Ondelettes 2-D ? Interprétation par transformée de Hilbert

Hilbert 2-D : direct extension du 1-D

Hahn



$$S_a(u, v) = (1 + \text{sign}(u))(1 + \text{sign}(v))S(u, v)$$

↓

$$s_a(x, y) = [s(x, y) - HT_{xy}(s)(x, y)] + j [HT_x(s)(x, y) + HT_y(s)(x, y)]$$

Insuffisant du fait de la symétrie hermitienne

⇒ Introduction d'un deuxième signal analytique

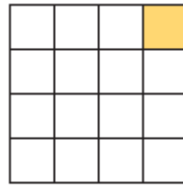
$$s_{a_2}(x, y) = [s(x, y) + HT_{xy}(s)(x, y)] + j [HT_x(s)(x, y) - HT_y(s)(x, y)]$$

Permet de couvrir le quadrant en haut à gauche

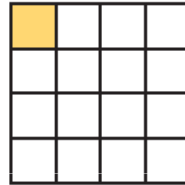


## Lien entre Hahn et Arbre-double 2D complexe

---



$$\psi(x, y) = \psi_h(x)\psi_h(y) - \psi_g(x)\psi_g(y) + j [\psi_g(x)\psi_h(y) + \psi_h(x)\psi_g(y)]$$



$$\psi(x, y) = \psi_h(x)\psi_h(y) + \psi_g(x)\psi_g(y) + j [\psi_g(x)\psi_h(y) - \psi_h(x)\psi_g(y)]$$

Correspond au signal analytique selon Hahn de  $\psi(x, y) = \psi_h(x)\psi_h(y)$

2 signaux analytiques donc 2 modules et 2 phases : interprétation difficile



## Critique : vision Fourier 2-D (phase)

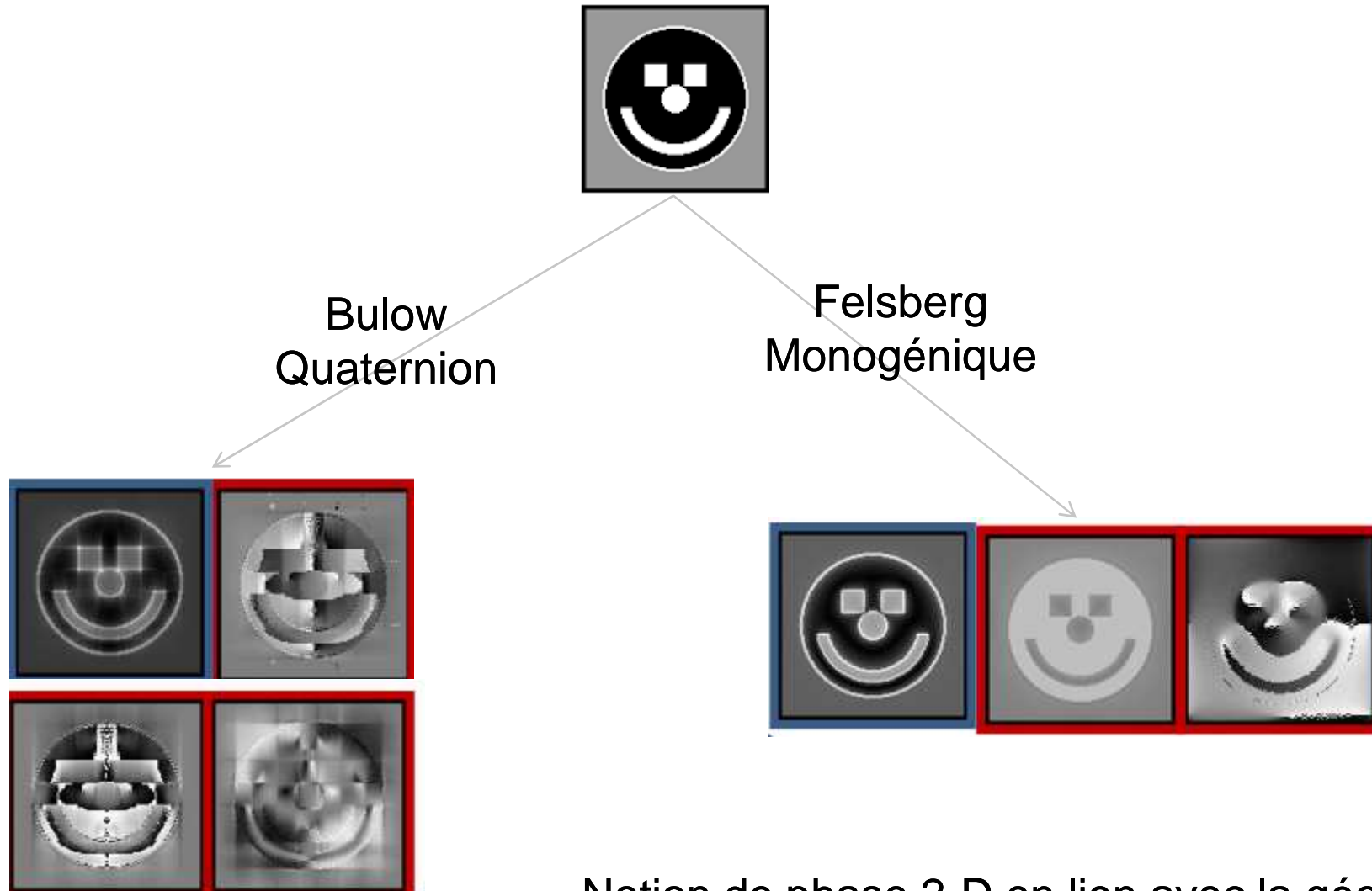
---

- Ambiguïté dans la phase

$$\begin{aligned} f(x, y) &\rightarrow f(x - dx, y - dy) \\ F(u, v) &\rightarrow F(u, v)e^{-2j\pi(udx + vdy)} \end{aligned}$$

« Extension » des complexes : quaternion

# Solution : Ondelette Hypercomplexe



Notion de phase 2-D en lien avec la géométrie



---

# Quaternion



## Quaternions : Définition

---

$$\mathbb{H} = \{a + ib + jc + kd \mid a, b, c, d \in \mathbb{R}\}$$

$$ij = -ji = k \quad \text{et} \quad i^2 = j^2 = k^2 = -1$$

Partie réelle :  $\Re q = a$

Partie imaginaire  $\Im q = ib + jc + kd$

Conjugué :  $\bar{q} = \Re q - \Im q$

Norme :  $|q| = \sqrt{q\bar{q}}$

Produit non commutatif :  $q_1 q_2 \neq q_2 q_1$

Quaternions Purs :  $\mathbb{P} = \{q \in \mathbb{H} \mid q = \Im q\}$ ,

Unitaires :  $\mathbb{S} = \{q \in \mathbb{H} \mid |q| = 1\}$



# Représentation

Vectorielle

$$q = \underbrace{S(q)}_{\text{scalaire}} + \underbrace{\mathbf{V}(q)}_{\text{vecteur}}$$

Exponentielle

$\mu$  quaternion pur unitaire

$$e^{\mu\phi} = \cos \phi + \mu \sin \phi$$

$$\phi = \arctan \frac{|\mathbf{V}(q)|}{S(q)}$$

$$\mu = \frac{\mathbf{V}(q)}{|\mathbf{V}(q)|}$$

Polaire

$$q = |q| e^{i\phi} e^{k\psi} e^{j\theta} \text{ avec } (\phi, \theta, \psi) \in [-\pi, \pi[ \times [-\pi/2, \pi/2[ \times [-\pi/4, \pi/4]$$

Un vecteur de longueur  $|q|$  et de direction  $(\phi, \theta, \psi)$

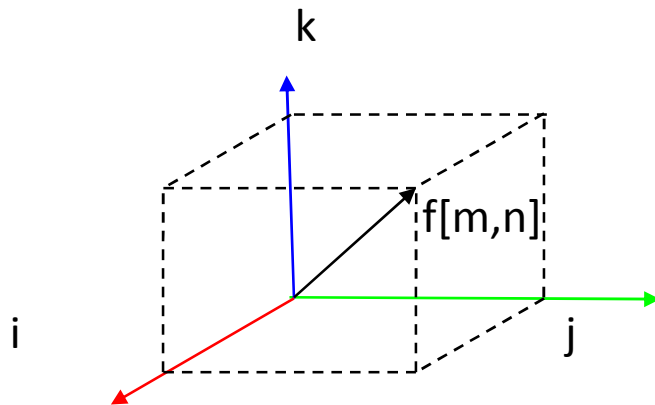


## Une autre utilisation : Couleur

Une couleur = un vecteur de  $\mathbb{R}^3$

*quaternion* sur les 3 parties imaginaires

$$f[m,n] = r[m,n] i + v[m,n] j + b[m,n] k \text{ [Sangwine]}$$



m et n : coordonnées spatiales

Avant les ondelettes ..... Fourier



## Fourier Quaternionique

Bülow

Image NvG

$$F^{l-r}(s)[f_1, f_2] = \sum_{n_2=0}^{M-1} \sum_{n_1=0}^{N-1} e^{-2\pi\mu \frac{f_2 n_2}{M}} s[n_1, n_2] e^{-2\pi\nu \frac{f_1 n_1}{N}}$$

$$F^q = |F^q| e^{i\theta} e^{j\phi} e^{i\psi}$$

Translation

1.  $|F^q|$  est invariant à la translation
2.  $(\theta, \phi)$  sont modifiés linéairement par la translation

$$f(x, y) \rightarrow f(x - dx, y - dy) \quad \Leftrightarrow \quad (\theta, \phi, \psi) \rightarrow (\theta - udx, \phi - vdy, \psi)$$

Notion de signal analytique ?



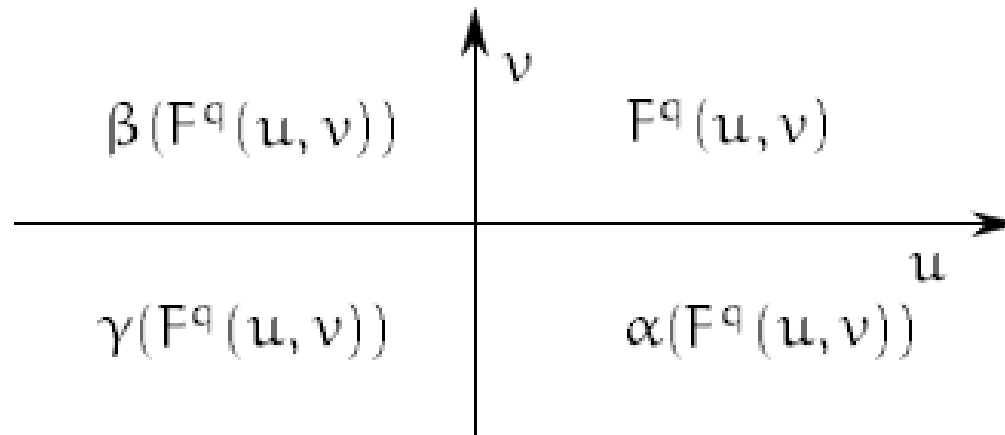
## Symétrie ?

$$\begin{aligned}\alpha(q) &= -iqi = q_0 + iq_1 - jq_2 - kq_3, & \gamma(q) &= -kqk = q_0 - iq_1 - jq_2 + kq_3, \\ \beta(q) &= -jqj = q_0 - iq_1 + jq_2 - kq_3, & & \text{Notion de conjugaison}\end{aligned}$$

$f : \mathbb{R}^2 \rightarrow \mathbb{H}$  est hermitienne au sens des quaternions (Bülow) si

$$f(x, -y) = \alpha(f(x, y)) \quad f(-x, -y) = \gamma(f(x, y)) \quad f(-x, y) = \beta(f(x, y))$$

La transformée QFT d'un signal réel est hermitienne au sens des quaternions

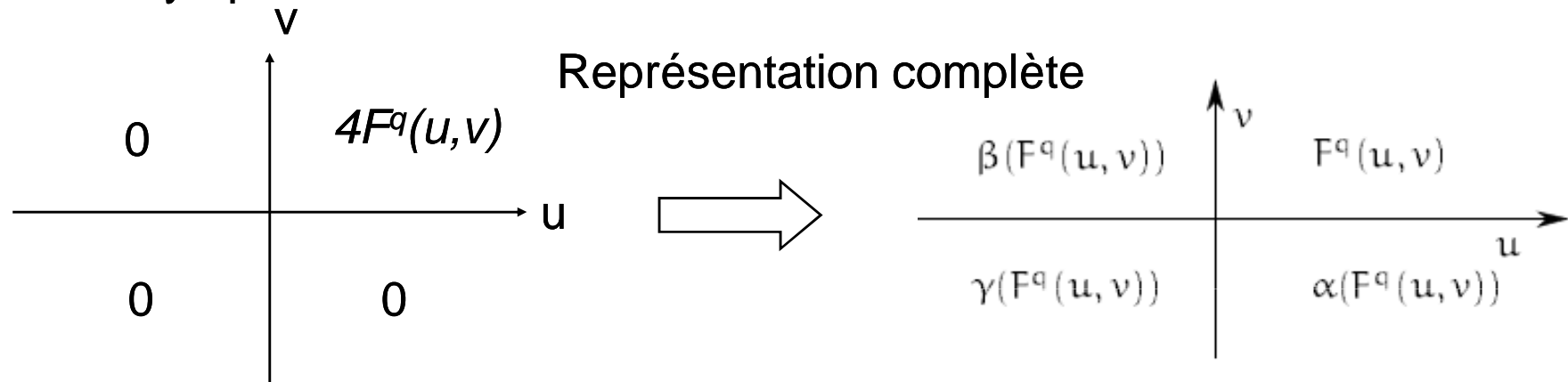




# Signal analytique quaternionique

La transformée QFT d'un signal réel est hermitienne au sens des quaternions

Signal analytique selon Hahn

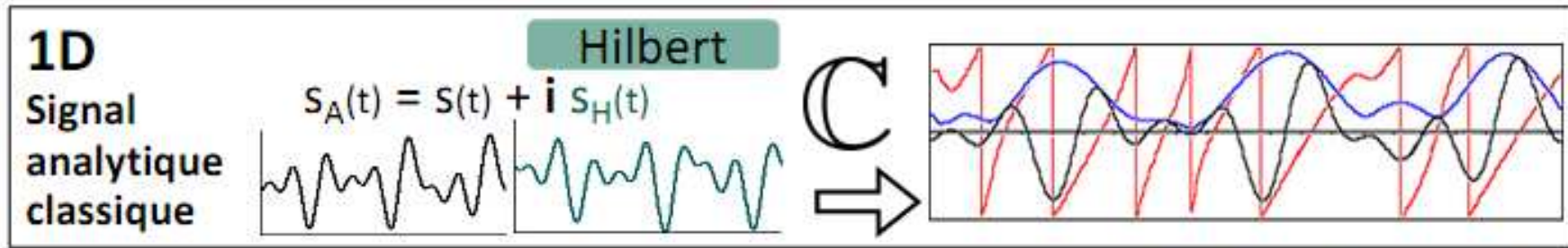


$$S_a^q(u, v) = (1 + \text{sign}(u))(1 + \text{sign}(v))S^q(u, v)$$

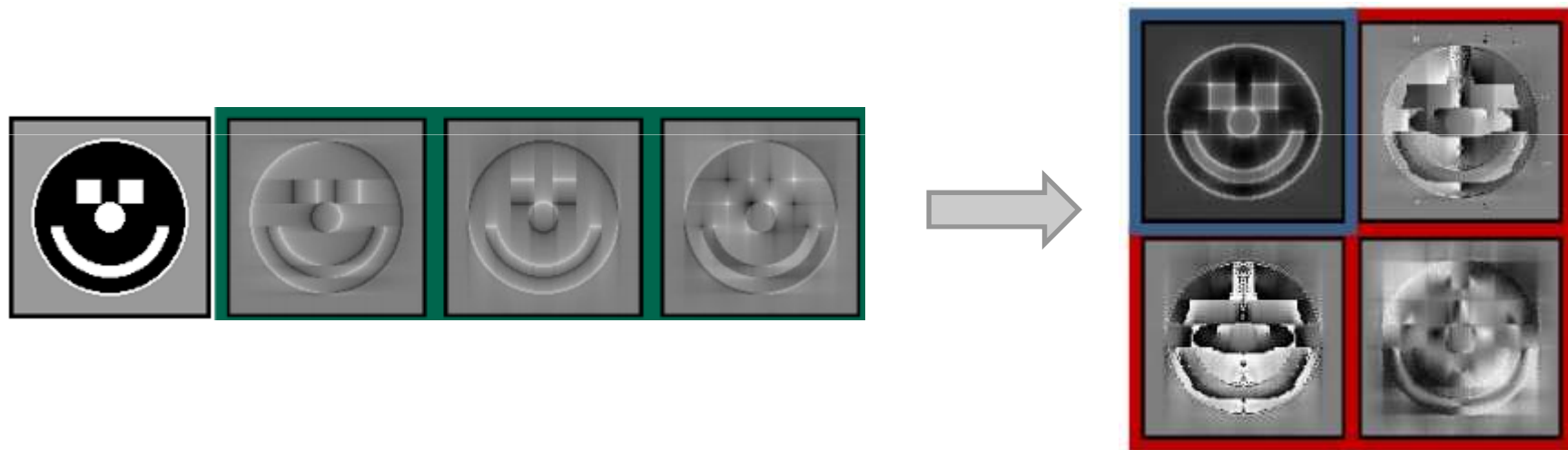


$$s_a^q(x, y) = s(x, y) + iHT_x(s)(x, y) + jHT_y(s)(x, y) + kHT_{xy}(s)(x, y)$$

# Phase quaternionique

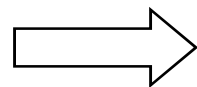


$$s_A^q(x, y) = s(x, y) + \mathbf{HT}_x[s](x, y)\mathbf{i} + \mathbf{HT}_y[s](x, y)\mathbf{j} + \mathbf{HT}_{xy}[s](x, y)\mathbf{k}$$



Extension « complexe » réellement 2D

$$F^q = |F^q| e^{i\theta} e^{j\phi} e^{i\psi}$$



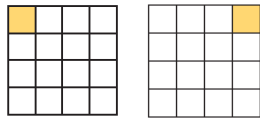
Ondelettes Quaternioniques : adaptation du DT

Baraniuk et al



## Transformée en ondelettes quaternionique

Rappel



Signal analytique selon Hahn de  $\psi(x, y) = \psi_h(x)\psi_h(y)$

$$\psi(x, y) = \psi_h(x)\psi_h(y) - \psi_g(x)\psi_g(y) + j [\psi_g(x)\psi_h(y) + \psi_h(x)\psi_g(y)]$$

$$\psi(x, y) = \psi_h(x)\psi_h(y) + \psi_g(x)\psi_g(y) + j [\psi_g(x)\psi_h(y) - \psi_h(x)\psi_g(y)]$$

Rappel Signal quaternionique analytique

$$s_A^q(x, y) = s(x, y) + \mathbf{HT}_x[s](x, y)i + \mathbf{HT}_y[s](x, y)j + \mathbf{HT}_{xy}[s](x, y)k$$

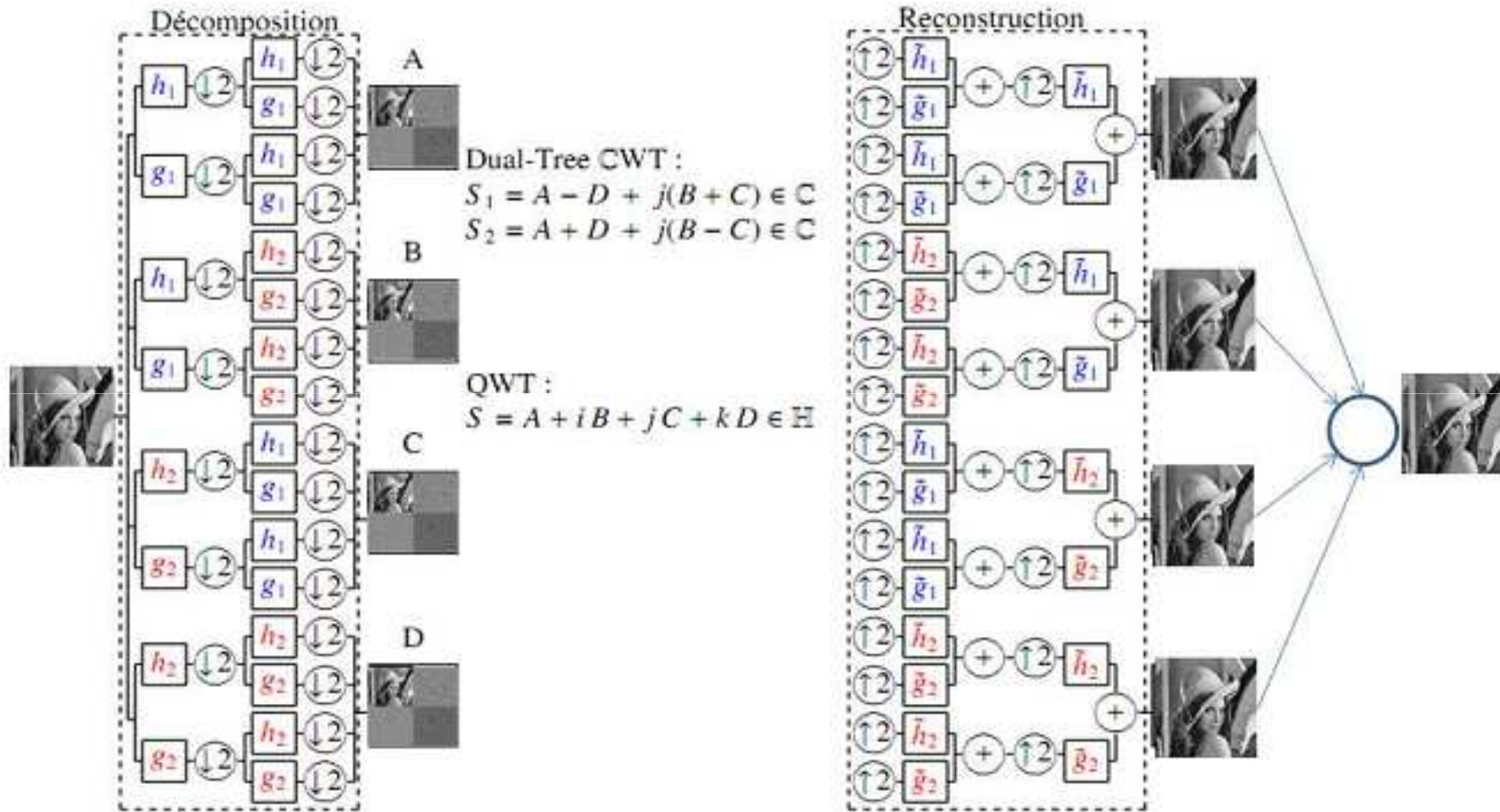
### Extention « complexe » réellement 2D

Signal quaternionique analytique de  $\psi(x, y) = \psi_h(x)\psi_h(y)$

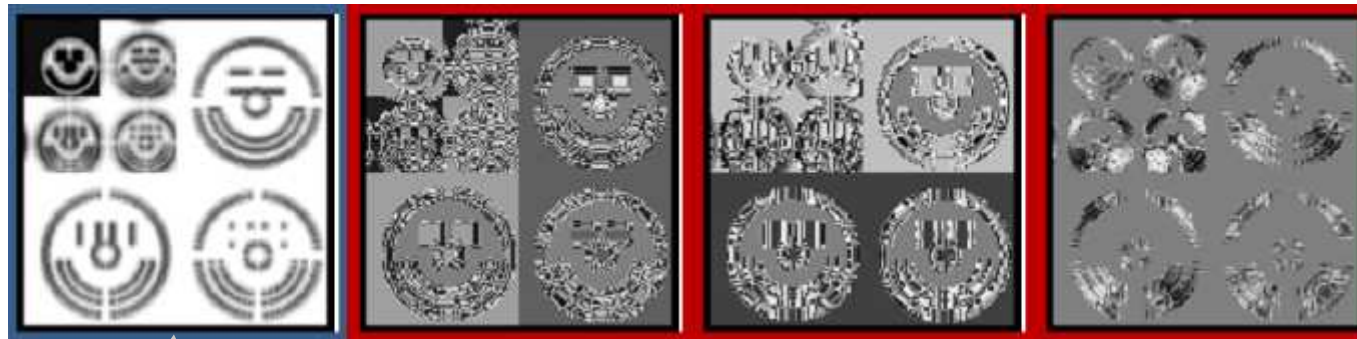
$$\psi^q(x, y) = \psi_h(x)\psi_h(y) + i\psi_g(x)\psi_h(y) + j\psi_h(x)\psi_g(y) + k\psi_g(x)\psi_g(y)$$



# Transformée en ondelettes quaternionique



# Transformée en ondelettes quaternionique

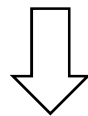


Présence  
d'information

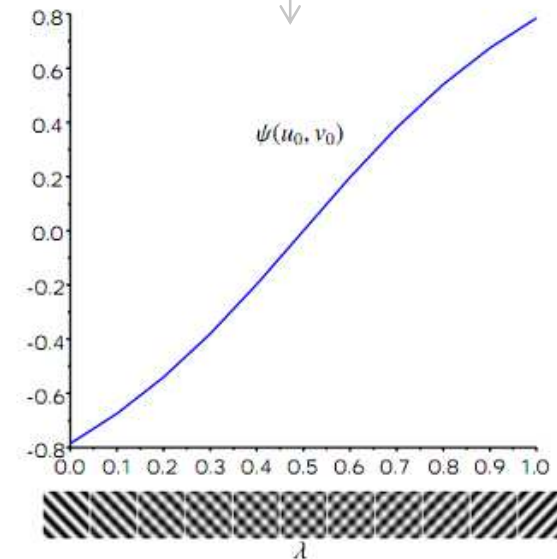
Décalage spatial

Texture

$$f_2(x, y) = f_1(x - r_x, y - r_y)$$

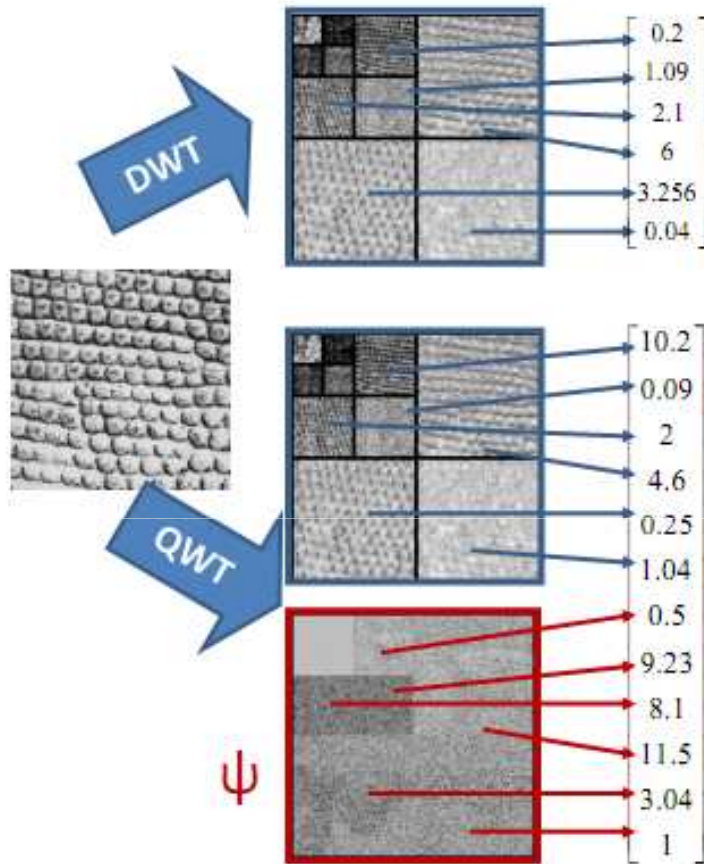


$$\begin{pmatrix} \varphi_2(u, v) \\ \theta_2(u, v) \end{pmatrix} = \begin{pmatrix} \varphi_1(u, v) - 2\pi u r_x \\ \theta_1(u, v) - 2\pi v r_y \end{pmatrix}$$





# QWT : classification



[Soulard 10]

$$m = \sqrt{\frac{1}{NM} \sum_{i,j} (M_{ij} - \mu)^2}$$

Std Norme

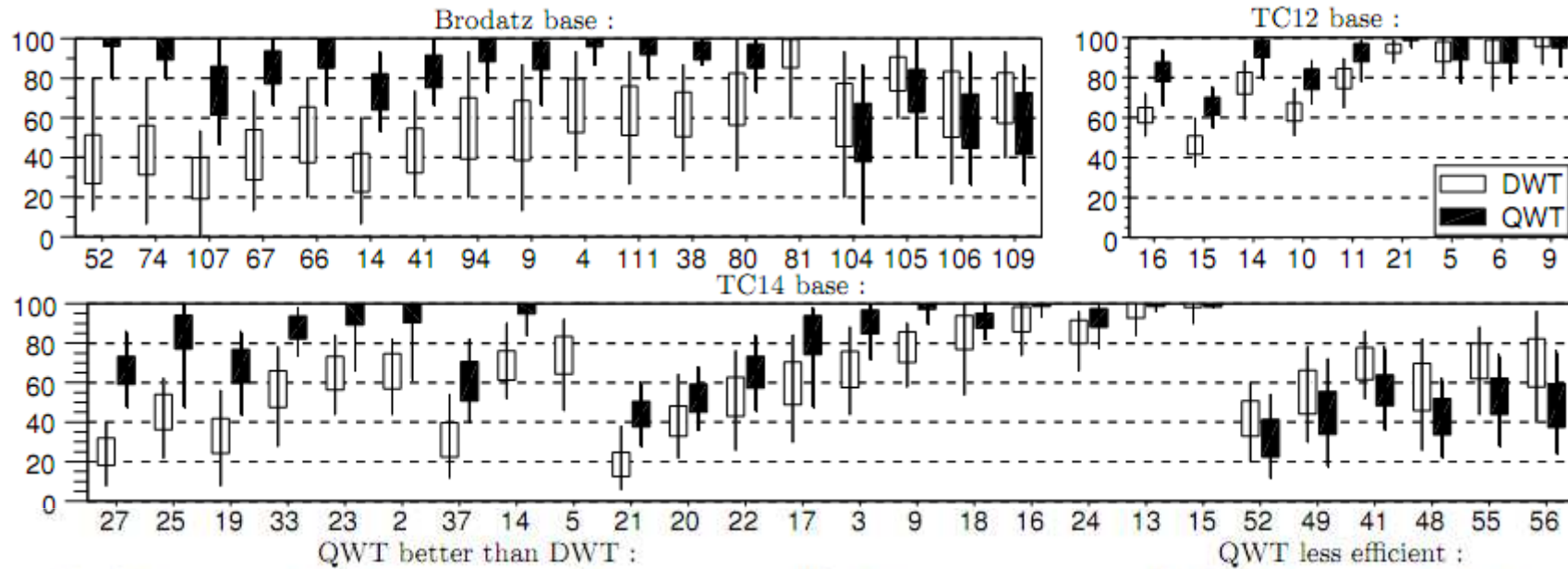
$$m = \sqrt{\sum_{i,j} W_{ij} (\psi_{ij} - \mu_W)^2}$$

Std Phase

	Brodatz		TC12		TC14	
	Moy	Std	Moy	Std	Moy	Std
DWT Mod.	64%	9	83%	4	56%	8
QWT Mod.	64%	9	82%	4	51%	8
QWT Phase	65%	8	79%	4	58%	6
QWT Comb.	<b>76%</b>	<b>7</b>	<b>91%</b>	<b>4</b>	<b>63%</b>	<b>6</b>
CWT Mod.	65%	8	87%	4	62%	7

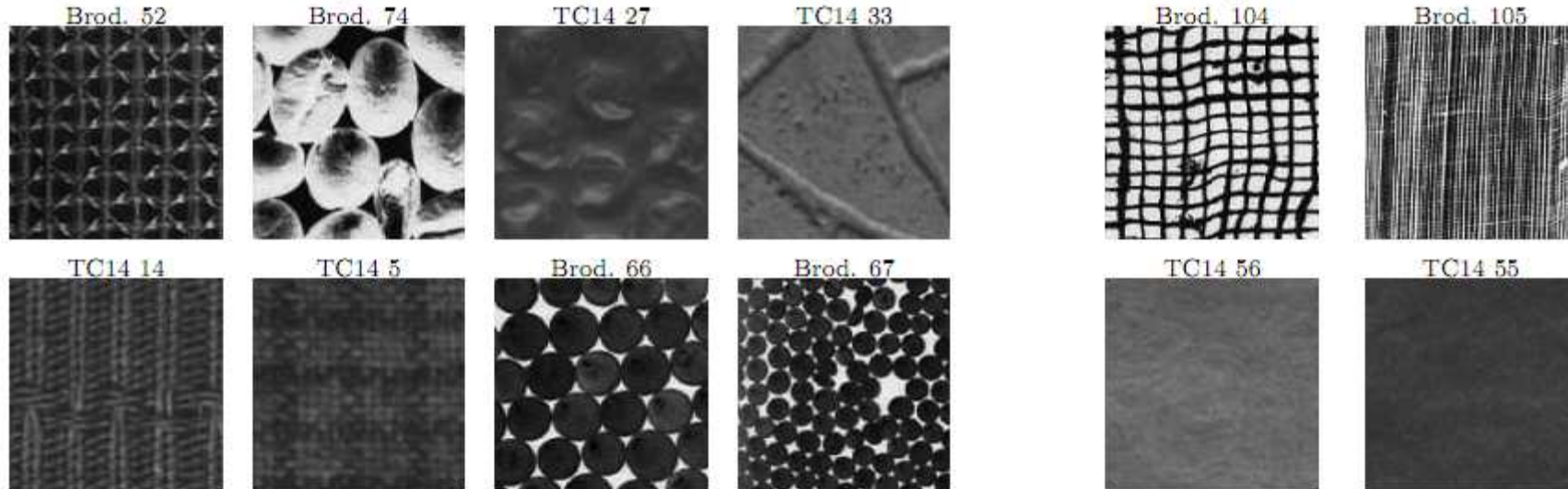


# QWT : classification



QWT better than DWT :

QWT less efficient :



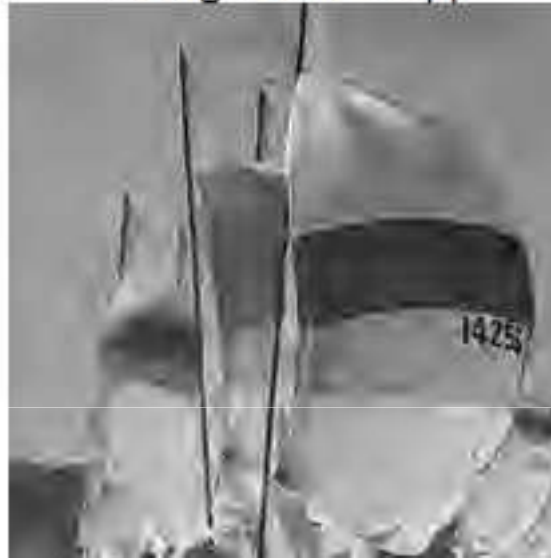


# Transformée en ondelettes quaternionique

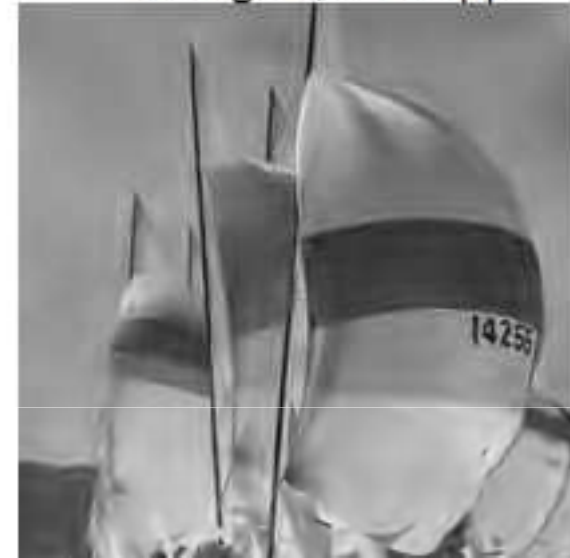
Original



Codage DWT 5 bpp



Codage QWT 5 bpp



## QWT : Bilan

Vraie définition 2-D

Domaine applicatif prometteur

Algorithme de Calcul

Phase difficile à interpréter

Variance à la rotation

Approche séparable

2D Signal quaternionique-analytique

Hilbert 2D séparable



2D Signal monogénique

Riesz 2D





## Extension : analyse complexe (Feslberg)

Signal analytique : peut être défini comme la restriction à l'axe réel d'une fonction holomorphe

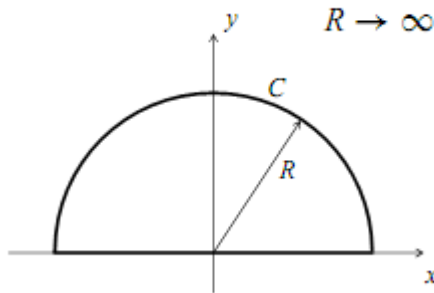
Fonction complexe  $F(\chi) = u(x, y) + jv(x, y)$

Holomorphe : dérivable en tout point du domaine  $\frac{\partial u}{\partial x} = \frac{\partial v}{\partial y}$  et  $\frac{\partial u}{\partial y} = -\frac{\partial v}{\partial x}$

Fonction réelle harmonique

$$\frac{\partial^2 u}{\partial x^2} + \frac{\partial^2 u}{\partial y^2} = \Delta u = 0$$

Signal analytique ?



$u$  : une fonction réelle harmonique

Il existe une fonction réelle harmonique  $v$  telle

$F(\chi) = u(x, y) + jv(x, y)$  est holomorphe

Cauchy

$$v(x_0, y_0) = -\frac{1}{\pi} \int_{-\infty}^{\infty} \frac{(x - x_0)u(x)dx}{(x - x_0)^2 + y_0^2} \quad \xrightarrow{y \rightarrow 0+} \quad v(x_0) = \frac{1}{\pi} P \int_{-\infty}^{\infty} \frac{u(x)dx}{x_0 - x}$$

Noyau de Poisson



## Notion de base : Transformée de Riesz

Définition

$$\mathbf{TR}[s](\mathbf{x}) = \begin{pmatrix} TR_1[s](\mathbf{x}) \\ TR_2[s](\mathbf{x}) \end{pmatrix} = \begin{pmatrix} h_x * s(\mathbf{x}) \\ h_y * s(\mathbf{x}) \end{pmatrix}$$

avec  $H_x(\mathbf{f}) = -j \frac{f_1}{\sqrt{f_1^2 + f_2^2}}$  et  $H_y(\mathbf{f}) = -j \frac{f_2}{\sqrt{f_1^2 + f_2^2}}$

Déphasage pur isotropique

Riesz 1-D : Hilbert

$$H_x(f) = -j \frac{f}{|f|} = -j \text{sign}(f) \quad \text{Déphasage 1-D}$$

Notion de Steerability

$$h_{\mathbf{TR}}(R_\theta \mathbf{x}) = e^{-j\theta} h_{\mathbf{TR}}(\mathbf{x})$$



Rotation

Invariance par rotation

$$R_\theta = \begin{pmatrix} \cos \theta & \sin \theta \\ -\sin \theta & \cos \theta \end{pmatrix}$$

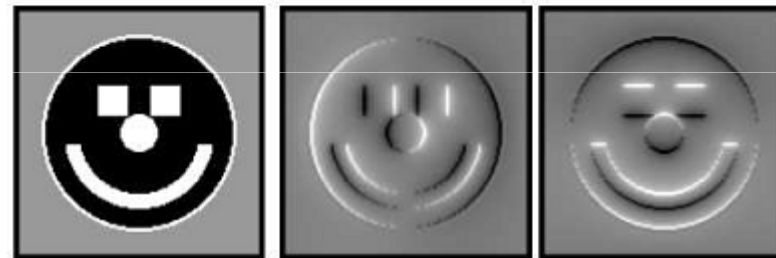
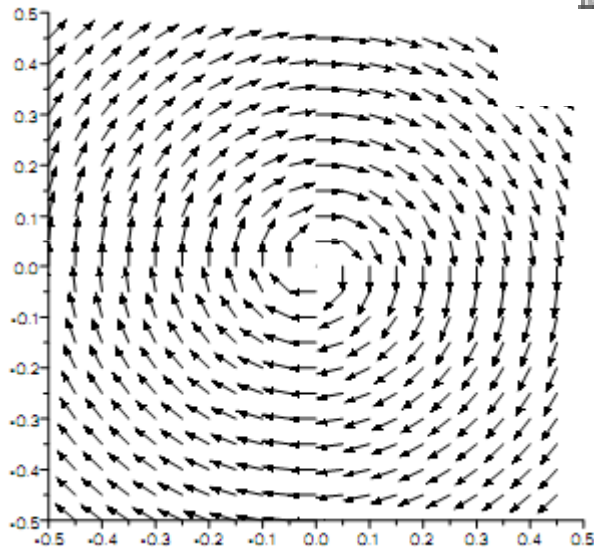


# Isotropie du signal Monogène

Ecriture complexe de Riesz

$$\mathbf{TR}[s](\mathbf{x}) = TR_1[s](\mathbf{x}) + jTR_2[s](\mathbf{x})$$

$$\mathbb{F}[\mathbf{TR}[s]](\mathbf{f}) = \frac{-jf_1 + f_2}{\sqrt{f_1^2 + f_2^2}} S(\mathbf{f})$$



$TR_1[s]$

$TR_2$

Nouveau signal analytique 2-D  
signal Monogène

$$s_M(\mathbf{x}) = \begin{pmatrix} f(\mathbf{x}) \\ \mathbf{TR}_1[s](\mathbf{x}) \\ \mathbf{TR}_2[s](\mathbf{x}) \end{pmatrix}$$



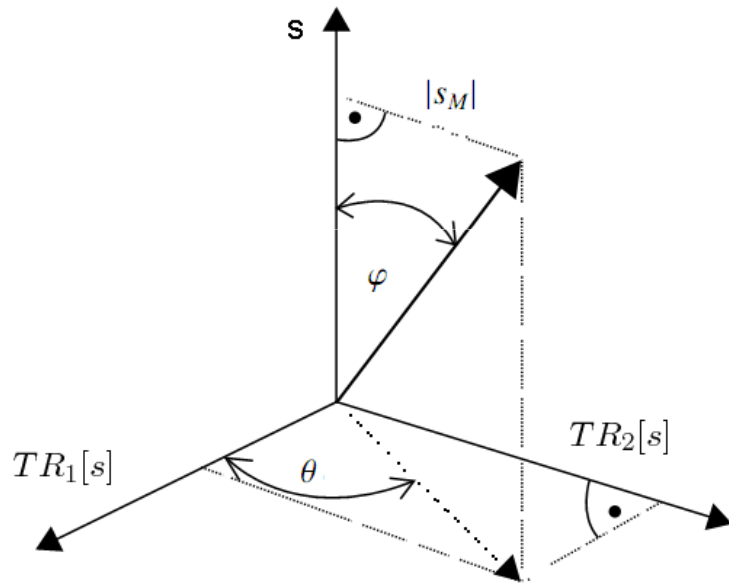
# Signal Monogène : coordonnées sphériques

$$|s_M(\mathbf{x})| = \sqrt{s(\mathbf{x})^2 + (\mathbf{TR}_1[s](\mathbf{x}))^2 + (\mathbf{TR}_2[s](\mathbf{x}))^2}$$

$$\theta(\mathbf{x}) = \left( \frac{\mathbf{TR}_2[s](\mathbf{x})}{\mathbf{TR}_1[s](\mathbf{x})} \right) \quad \varphi(\mathbf{x}) = \left( \frac{\sqrt{\mathbf{TR}_1[s]^2(\mathbf{x}) + \mathbf{TR}_2[s]^2(\mathbf{x})}}{s(\mathbf{x})} \right)$$

Direction

Phase



Module du signal analytique quaternionique et du signal monogène



# Interprétation : Caractérisation de structures locales

Gradient  $\nabla s(\mathbf{x}) = \left[ \frac{\partial s(\mathbf{x})}{\partial x_1} \quad \frac{\partial s(\mathbf{x})}{\partial x_2} \right]^T$

$$\mathcal{N}_\nabla = \|\nabla s\| \quad \theta_\nabla = \arg \left\{ \frac{\partial s(\mathbf{x})}{\partial x_1} + j \frac{\partial s(\mathbf{x})}{\partial x_2} \right\}$$

Recherche de la direction dominante de  $s$  selon les moindres carrés.  
Introduction d'un lissage local

$$T(s) = \begin{bmatrix} h * s_x^2 & h * s_x s_y \\ h * s_x s_y & h * s_y^2 \end{bmatrix} = \begin{bmatrix} T_{11} & T_{12} \\ T_{12} & T_{22} \end{bmatrix}$$

Orientation  $\theta_+ = \frac{1}{2} \arg \{ T_{11} - T_{22} + j2T_{12} \}$   
 $\mathbf{u}_1 = (\cos \theta, \sin \theta)$

Direction selon laquelle la transformée de Hilbert directionnelle donne sur le voisinage une énergie maximale

Cohérence  $\frac{\lambda_{\max} - \lambda_{\min}}{\lambda_{\max} + \lambda_{\min}}$  Le degré de directonnalité du signal sur le voisinage (=1, la structure est 1-D).



⇒ Interprétation du Monogénique

$$\mathbf{TR}[s](\mathbf{x}) = (-1)(-\Delta)^{-\frac{1}{2}} \nabla[s](\mathbf{x})$$

$\uparrow$   
1  
 $\frac{1}{\|\omega\|}$

Version lissée du gradient

$$\mathbf{TR}[s](\mathbf{x}) = -\frac{\partial}{\partial x_1}(-\Delta)^{-1/2}[s](\mathbf{x}) - j\frac{\partial}{\partial x_2}(-\Delta)^{-1/2}[s](\mathbf{x}).$$

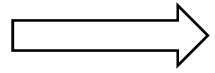
Lissage isotrope

$$|\mathcal{R}s| = \mathcal{N}_{\mathcal{R}} \equiv \mathcal{N}_{\nabla}$$

$$\arg\{\mathcal{R}s\} = \theta_{\mathcal{R}} \equiv \theta_{\nabla}$$



# Transformée en ondelettes Monogènes



Ondelettes Monogéniques

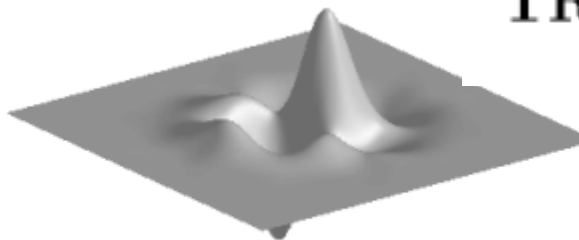
$$\psi_A^M(x, y) = \left( \psi(x, y) \quad \mathbf{TR}_1[\psi] \quad \mathbf{TR}_2[\psi] \right)$$

- 1) Des solutions continues (Olhede et al)
- 2) Une solution numérique (Unser et al)

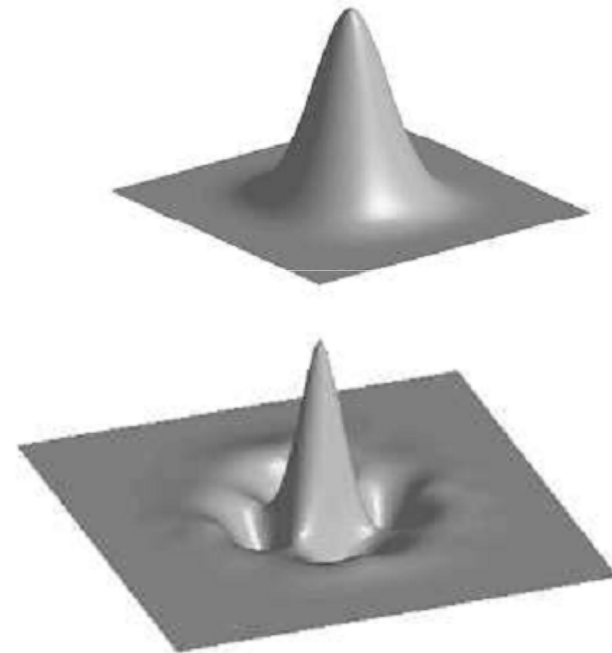
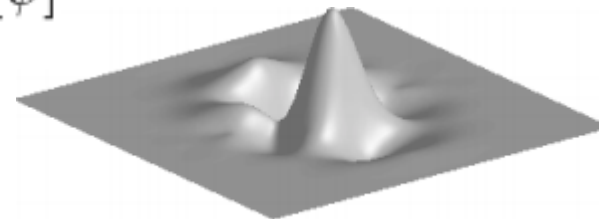
Une fonction d'échelle de lissage isotropique approximant la fonction Gaussienne

Opérateur Laplacien

⇒ Monogénique



$\mathbf{TR}_1[\psi]$     $\mathbf{TR}_2[\psi]$





## La suite ?

---

Monogénique : généralisation 2-D satisfaisante

Interprétation des coefficients ?

Couleur ?

Schéma numérique ?

$$\mathbf{TR}[s](\mathbf{x}) = \mathbf{Ra}^{-1} [\mathbf{TH}[\mathbf{Ra}(\cdot, \theta)[s]]n_{\theta}]$$

# ✦ Analyse complexe : une piste pour l'extension couleur

Signal analytique 1D,  
Défini dans  $\mathbb{C}$  ou dans  $\mathcal{G}_2$

$$\begin{cases} \Delta u = \frac{\partial^2 u}{\partial x^2} + \frac{\partial^2 u}{\partial y^2} = 0 & \text{if } y > 0 \\ e_2 \frac{\partial u}{\partial y} = f(x) & \text{if } y = 0 \end{cases}$$

Signal monogène 2D,  
Défini dans  $\mathcal{G}_3$

$$\begin{cases} \Delta u = \frac{\partial^2 u}{\partial x^2} + \frac{\partial^2 u}{\partial y^2} + \frac{\partial^2 u}{\partial z^2} = 0 & \text{si } z > 0 \\ e_3 \frac{\partial u}{\partial z} = f(x, y) & \text{si } z = 0 \end{cases}$$

Pour résoudre le système est scindé en 3

$$\begin{cases} \frac{\partial^2 u}{\partial x_1^2} + \frac{\partial^2 u}{\partial x_2^2} + \frac{\partial^2 u}{\partial x_i^2} = 0 & \text{si } x_i > 0 \\ e_i \frac{\partial u}{\partial x_i} = f_i(x_1, x_2) e_i & \text{si } x_i = 0 \end{cases}$$

$$\begin{cases} \Delta u = \frac{\partial^2 u}{\partial x_1^2} + \frac{\partial^2 u}{\partial x_2^2} + \frac{\partial^2 u}{\partial x_3^2} + \frac{\partial^2 u}{\partial x_4^2} + \frac{\partial^2 u}{\partial x_5^2} = 0 \\ e_3 \frac{\partial u}{\partial x_3} + e_4 \frac{\partial u}{\partial x_4} + e_5 \frac{\partial u}{\partial x_5} = f(x_1, x_2) \end{cases}$$

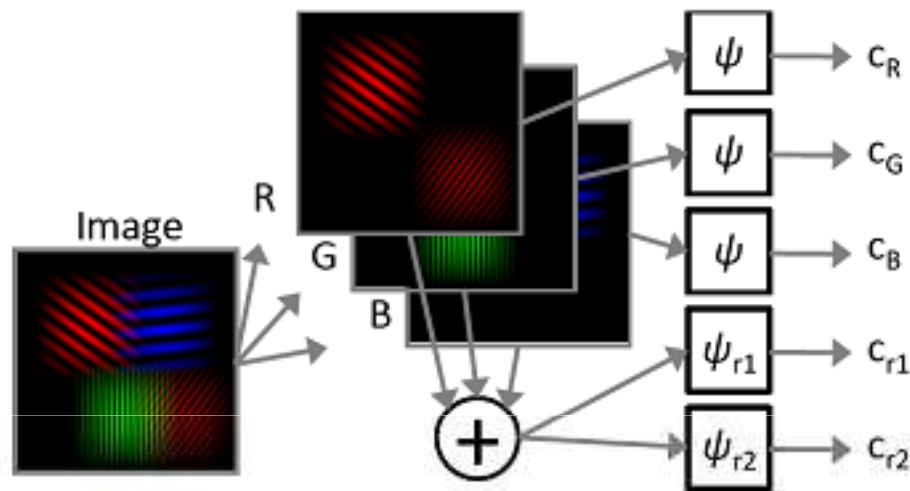
Signal monogène 2D couleur ( $\mathcal{G}_5$ )

[Demarcq 2009]



# Transformée en ondelettes Monogènes Couleur

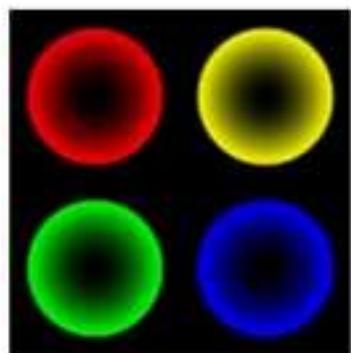
$(c_R, c_G, c_B, c_{r1}, c_{r2})$



$$c_{r2} = \frac{y}{2\pi\|\mathbf{x}\|^3} * (c_R + c_G + c_B)$$

$$c_{r1} = \frac{x}{2\pi\|\mathbf{x}\|^3} * (c_R + c_G + c_B)$$

- Non-marginal (pas strictement...)
- Redondance 20:9 (~2.2)
- Analyse directionnelle



Original image



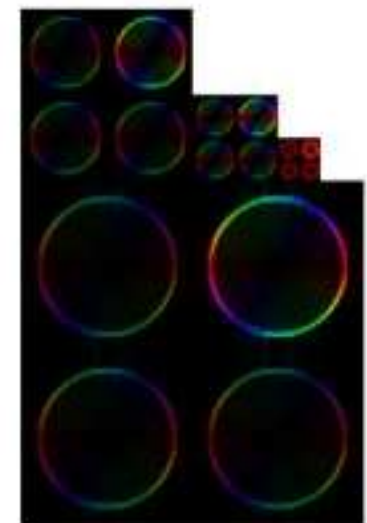
$c_R$



$c_G$



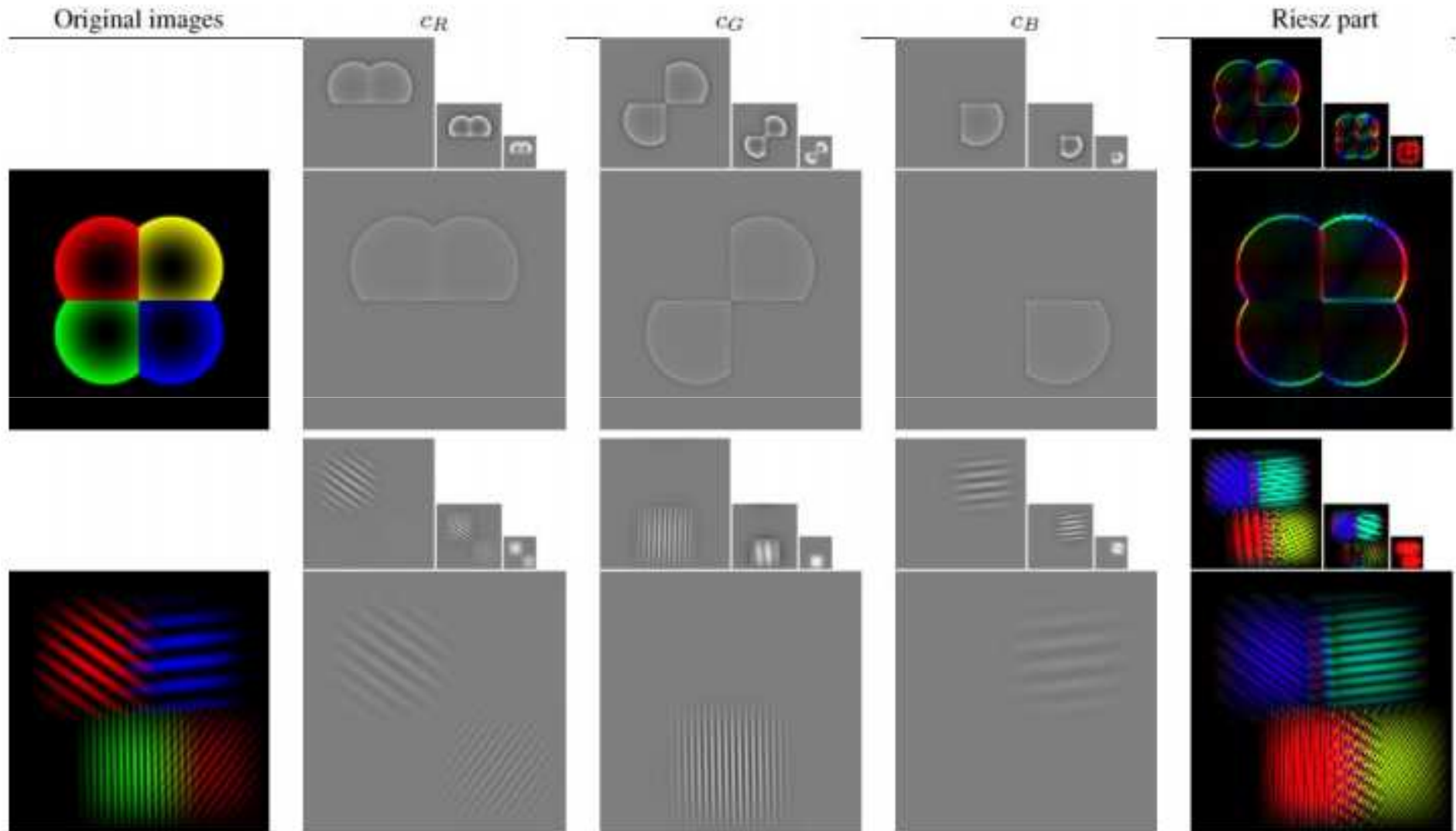
$c_B$



Riesz part



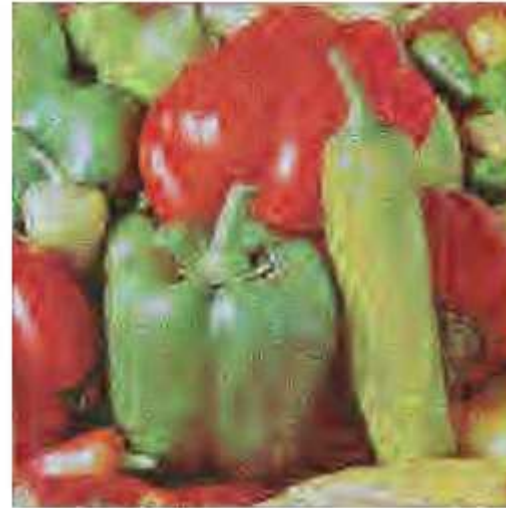
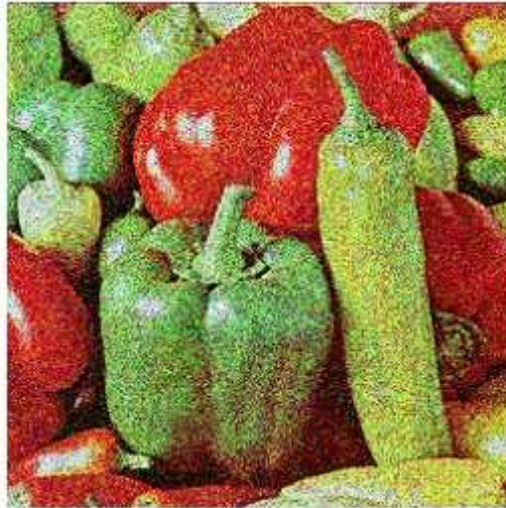
# Transformée en ondelettes Monogènes Couleur





## Transformée en ondelettes Monogènes Couleur

---





---

Schéma numérique ?

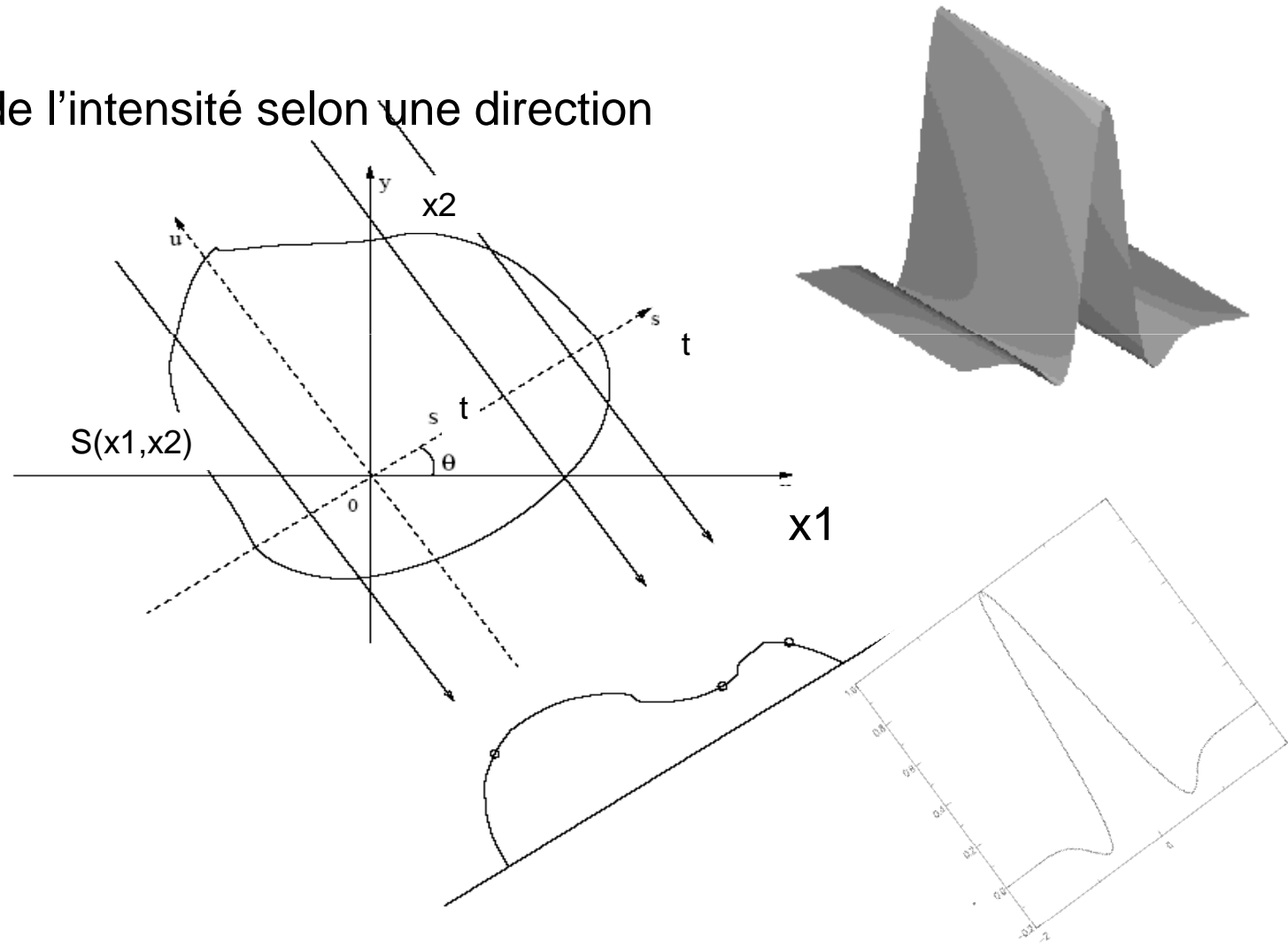
$$\mathbf{TR}[s](\mathbf{x}) = \mathbf{Ra}^{-1} [\mathbf{TH}[\mathbf{Ra}(\cdot, \theta)[s]]n_{\theta}]$$



# Une autre analyse directionnelle : Radon

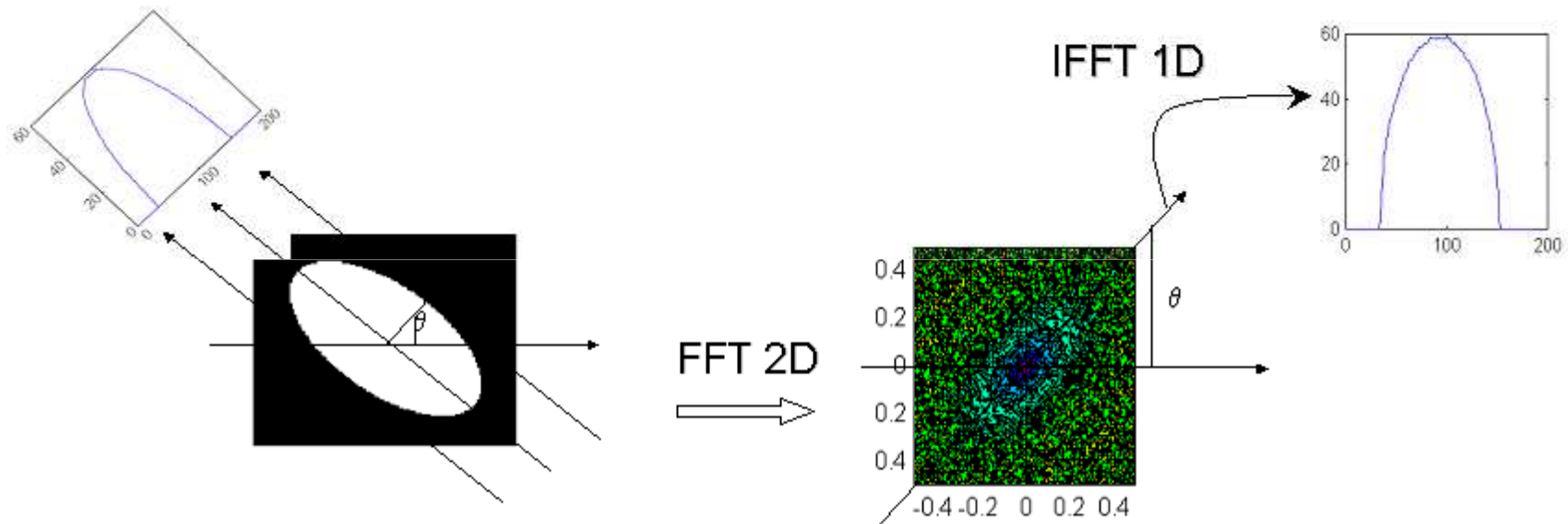
$$r(a, b, \theta) = \int_{\mathbb{R}} \psi_{a,b}(t) R_s(t, \theta) dt$$

Intégration de l'intensité selon une direction



# Théorème de projection de Radon

$$R_s(t, \theta) = \int_{\mathbb{R}} \hat{R}_s(w, \theta) e^{2j\pi w t} dw = \int_{\mathbb{R}} \left[ \int_{\mathbb{R}} \int_{\mathbb{R}} s(x_1, x_2) e^{-2j\pi(x_2 \sin \theta + x_1 \cos \theta)w} dx_1 dx_2 \right] e^{2j\pi w t} dw$$



Somme des pixels le long d'un ensemble de lignes

Transformée de Fourier 2D de l'image

Définir les lignes radiales passant par l'origine de l'image

Transformée de Fourier 1D inverse le long des lignes

**Stratégie classique**



# Décomposition de Radon discrète : Slant Stack

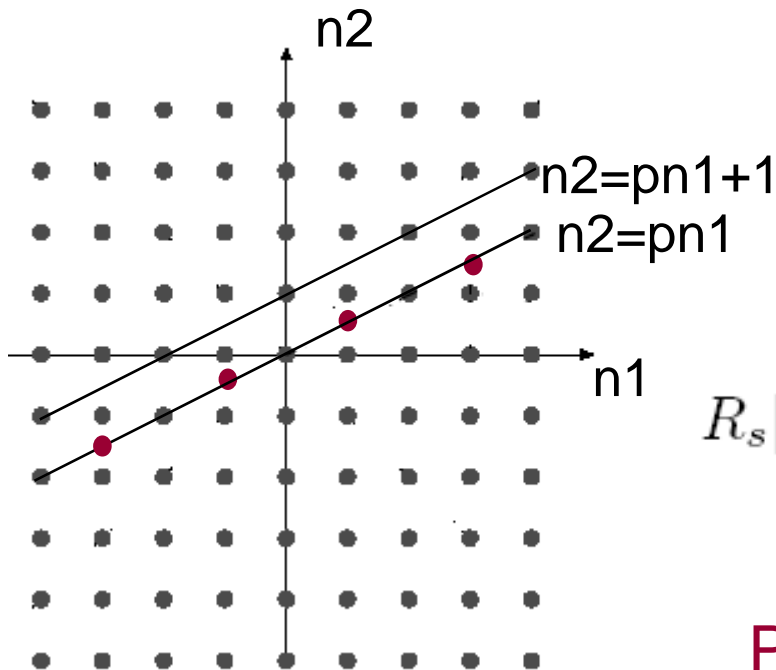
Discrétisation des paramètres

$$t_d = k_1 \Delta_t \text{ avec } k_1 \in \mathbb{Z}$$

$$p_d = k_2 \Delta_p \text{ avec } k_2 \in \mathbb{Z}$$

Image échantillonnée  $s[n_1, n_2] = s(n_1 \Delta_{x_1}, n_2 \Delta_{x_2})$  avec  $n_1, n_2 \in \mathbb{Z}$

$$R_s[t_d, p_d] = \int_{\mathbb{R}} s(x_1, p_d x_1 + t_d) dx_1 \approx \Delta_{x_1} \sum_{n_1=0}^{N-1} s[n_1, p_d n_1 + t_d]$$



Pas toujours défini

$$R_s[t, p] = \sum_{n_1=0}^{N-1} s[n_1, [pn_1 + t]]$$

Entier le plus proche

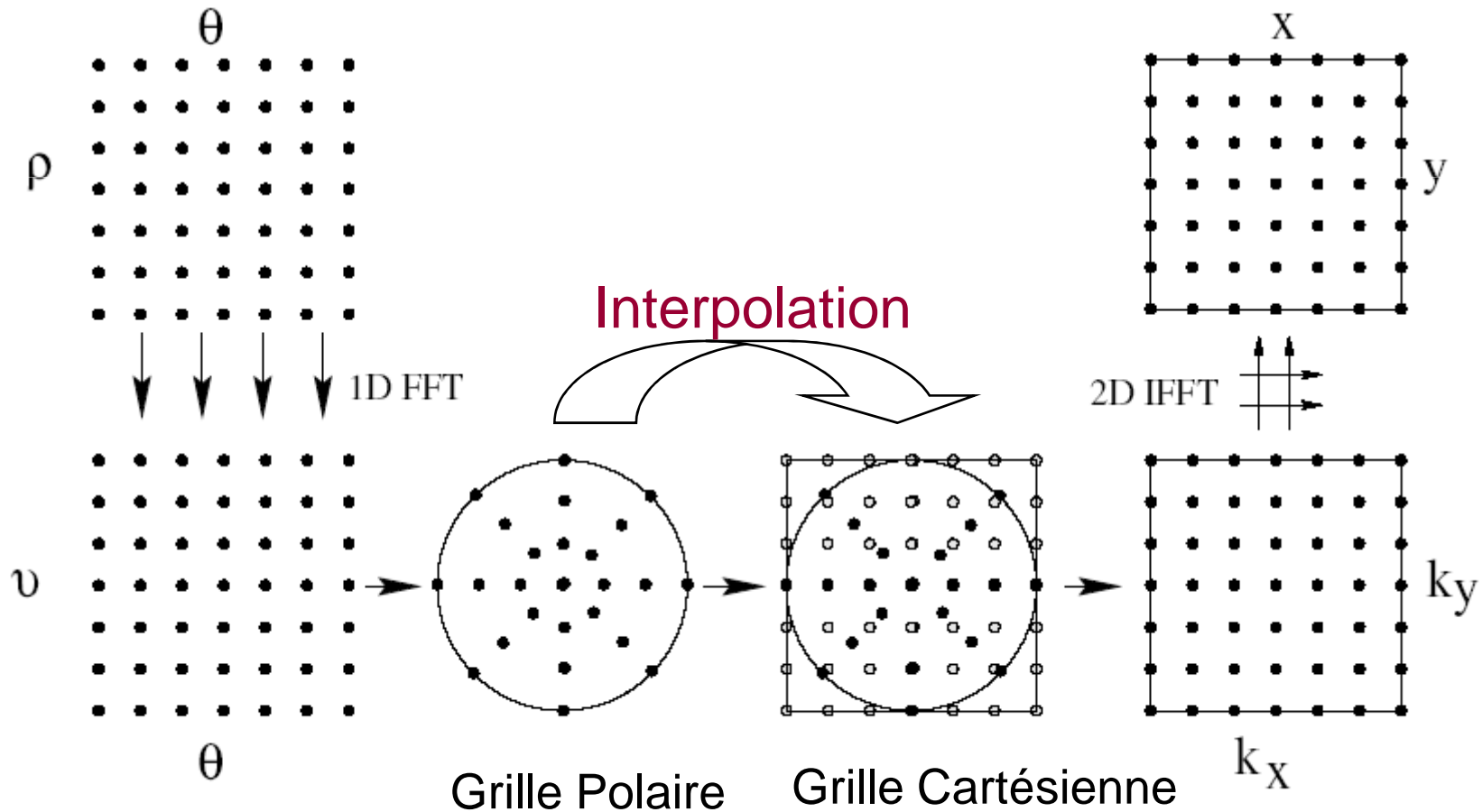
**Problème d'inversion**



# Inversion : utilisation du théorème de projection

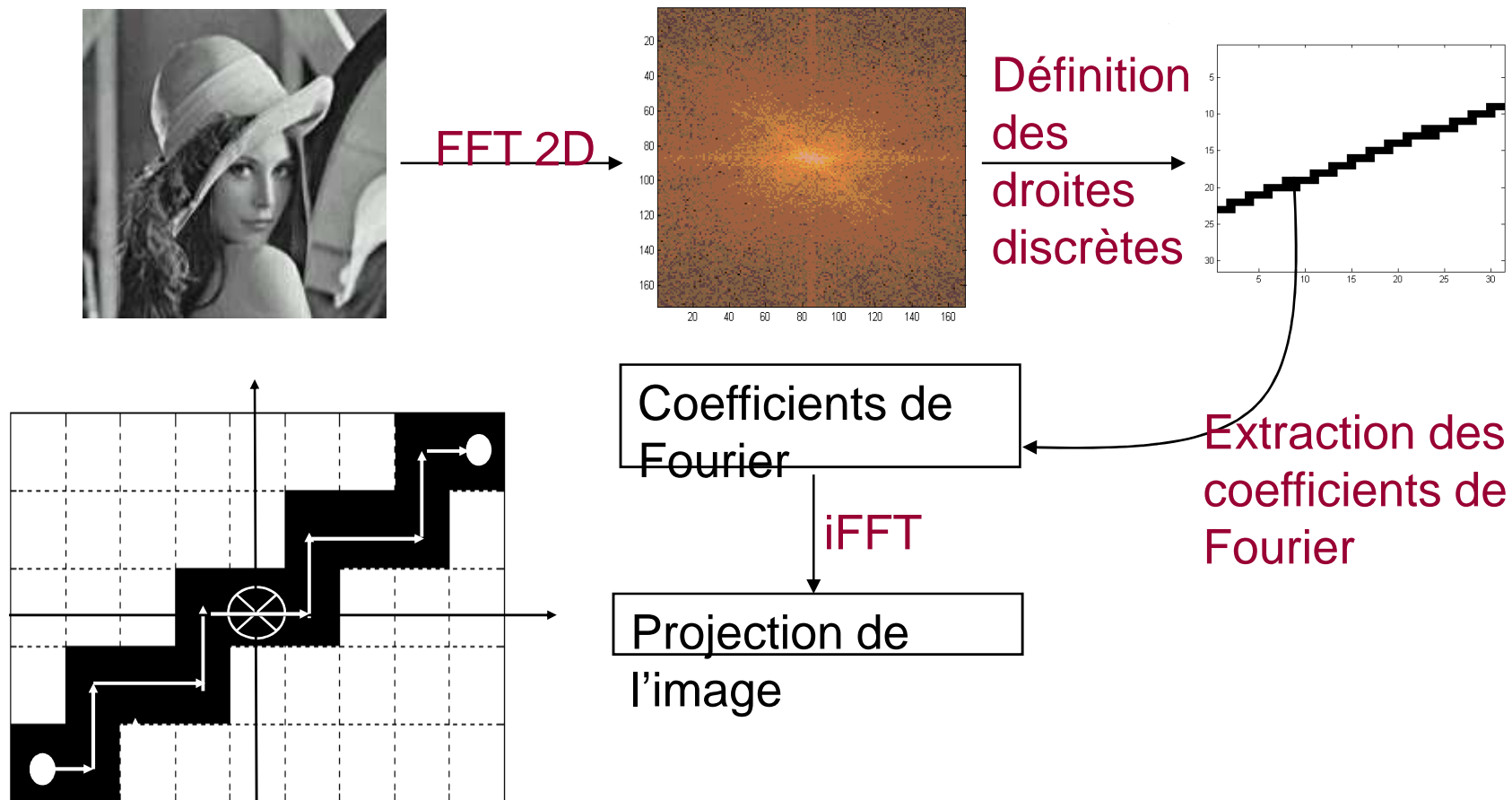
$$\hat{s}(v \cos \theta, v \sin \theta) = \int_{-\infty}^{+\infty} R_s(t, \theta) e^{-2j\pi t v} dt$$

$$s(x_1, x_2) = \int_{-\infty}^{+\infty} \int_{-\infty}^{+\infty} \hat{S}(\xi_1, \xi_2) e^{-2j\pi(\xi_1 x_1 + \xi_2 x_2)} d\xi_1 d\xi_2$$



# Radon analytique

## Stratégie de calcul de Radon analytique 2D :



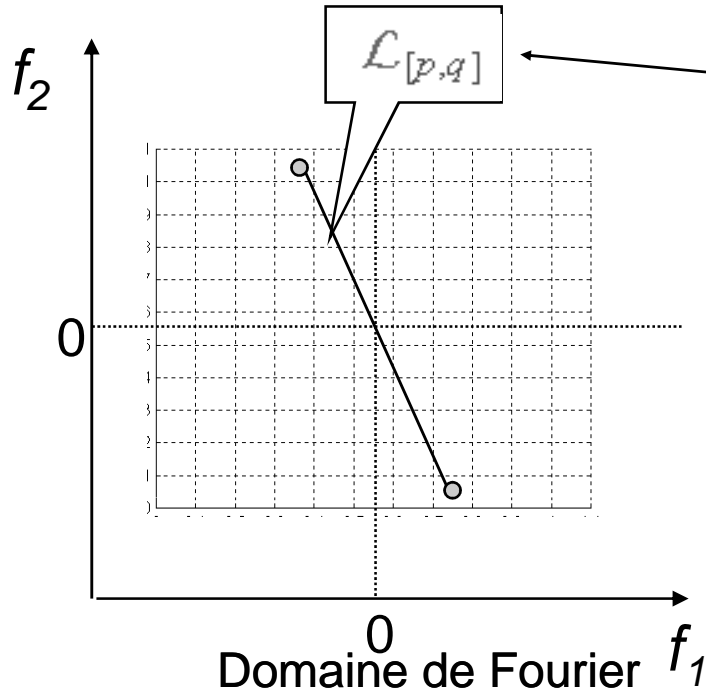
Extraction des coefficients de Fourier

[Carré&Andres2002]



# Transformation de Radon analytique discrète

## Stratégie de Fourier pour la transformation de Radon



Droites  $L_{[p,q]}$  sont définies à l'aide de géométrie analytique discrète

Nous avons besoin d'une droite discrète avec :

- une symétrie centrale,
- formant une « bonne » approximation de la droite euclidienne.

**Definition 1** Soit  $L(q,p,c,w)$  la droite discrète 2-D de Réveilles définie par

$$0 \leq qx_1 + px_2 + c < w$$

avec

–  $(q,p) \in \mathbb{Z}$  le coefficient de la droite

–  $c \in \mathbb{Z}$  le coefficient de translation

–  $w \in \mathbb{Z}^+$  l'épaisseur arithmétique



# Type de droites



$$L_{[p,q]}^{\sup(|p|,|q|)}$$

**Droites naïves fermées (8-connexes)**



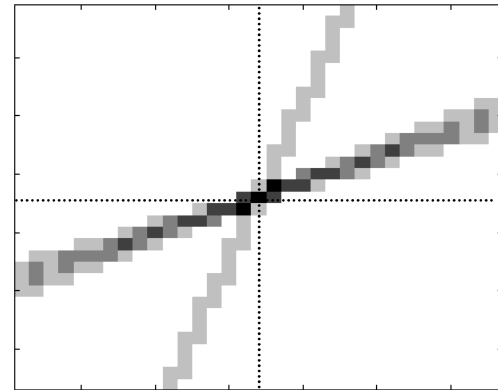
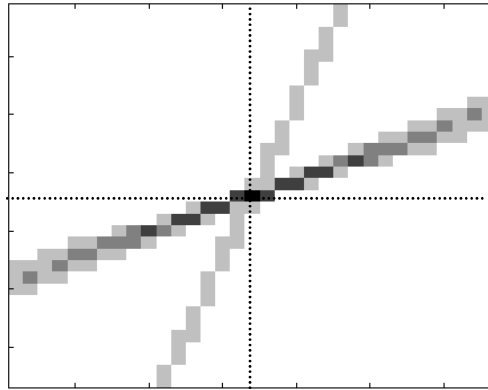
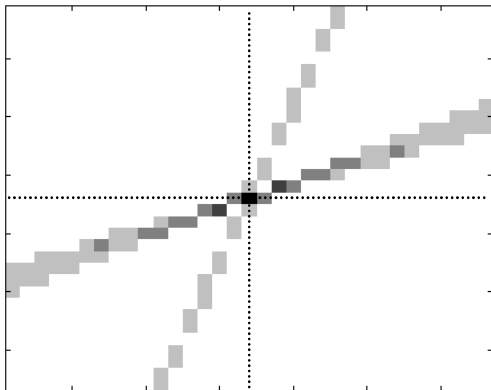
$$L_{[p,q]}^{|p|+|q|}$$

**Droites supercouvertures (4-connexes)**



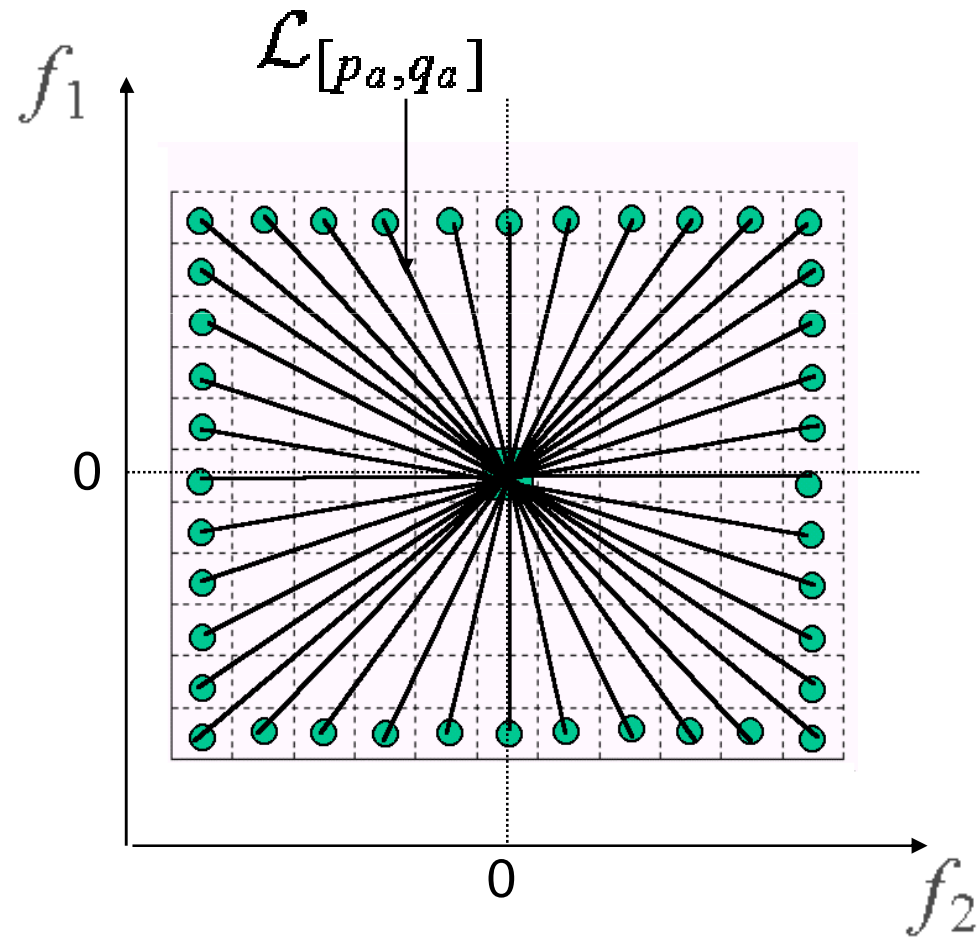
$$L_{[p,q]}^{\sqrt{|p|^2+|q|^2}}$$

**Droites pythagoriciennes fermées (8-connexes)**



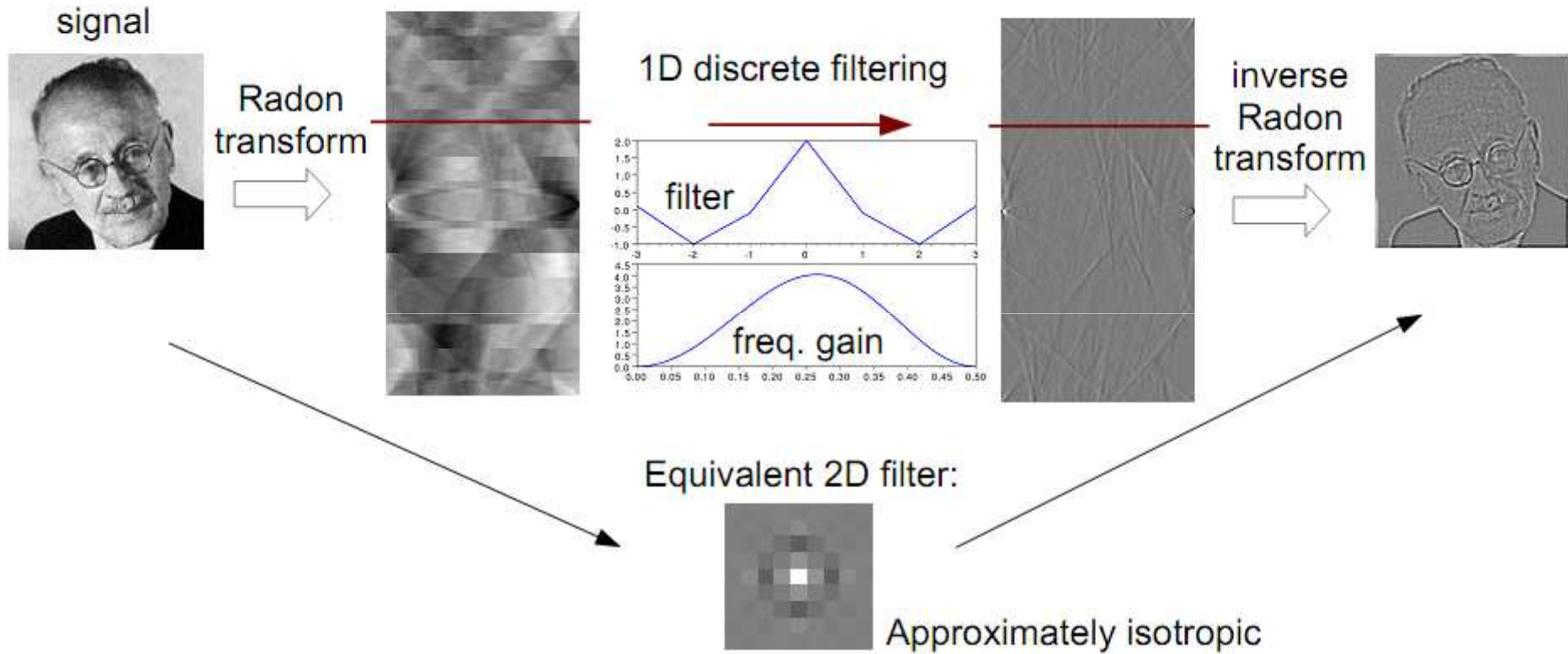


# Transformée complète inversible



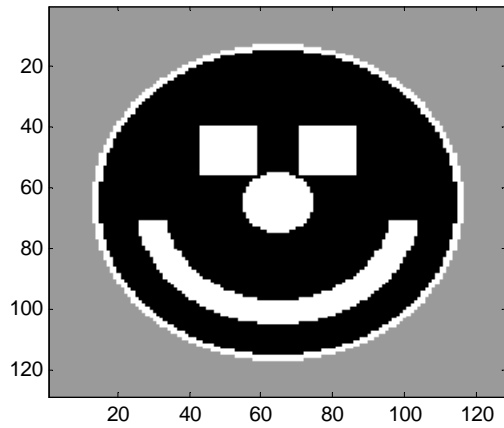


# Utilisation de Radon pour du filtrage isotropique

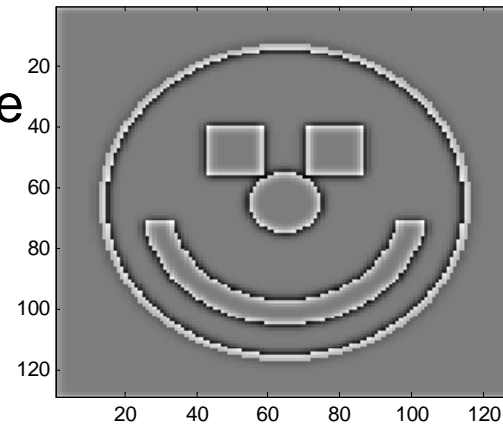
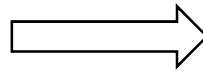




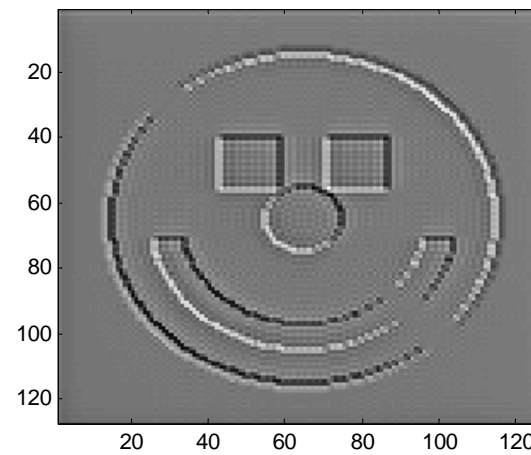
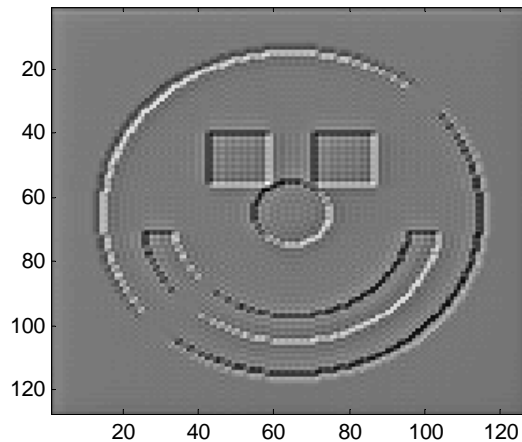
# Définition numérique d'un signal monogène



Passe-bande



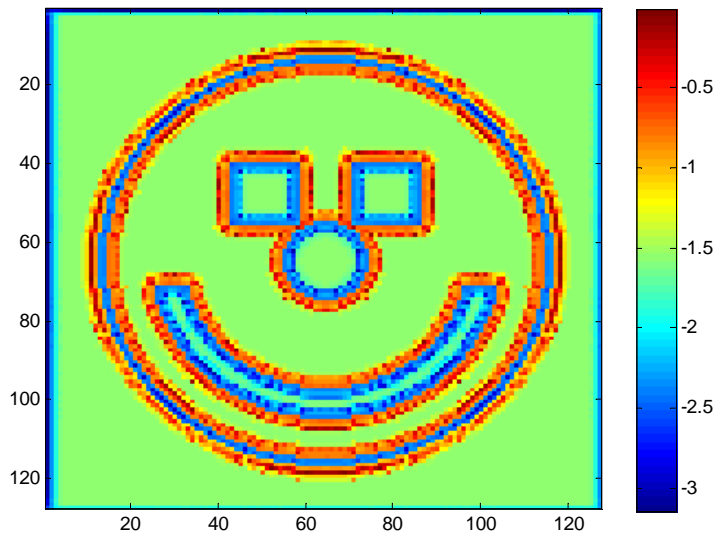
$$\text{TR}[s](\mathbf{x}) = \text{Ra}^{-1} [\text{TH}[\text{Ra}(\cdot, \theta)[s]]n_\theta]$$





# Caractéristique monogénique

$$|s_M(\mathbf{x})| = \sqrt{s(\mathbf{x})^2 + (\mathbf{TR}_1[s](\mathbf{x}))^2 + (\mathbf{TR}_2[s](\mathbf{x}))^2}$$



$$\varphi(\mathbf{x}) = \left( \frac{\sqrt{\mathbf{TR}_1[s]^2(\mathbf{x}) + \mathbf{TR}_2[s]^2(\mathbf{x})}}{s(\mathbf{x})} \right)$$

Phase

$$\theta(\mathbf{x}) = \left( \frac{\mathbf{TR}_2[s](\mathbf{x})}{\mathbf{TR}_1[s](\mathbf{x})} \right)$$

Direction : paramètre sensible

$$\mathbf{TR}[s](\mathbf{x}) = (-1)(-\Delta)^{-\frac{1}{2}} \nabla[s](\mathbf{x})$$

⇒ Utilisation de la notion de tenseur

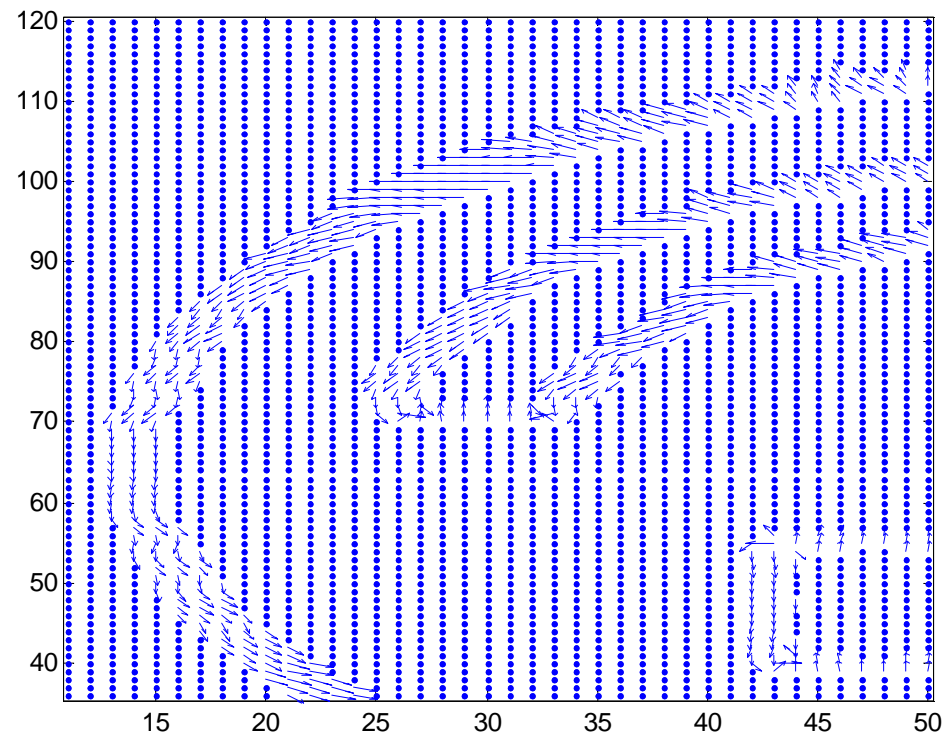


# Direction

$$T_{\text{rz}}(s) = h * [\Re\{\mathcal{R}s\} \quad \Im\{\mathcal{R}s\}]^T [\Re\{\mathcal{R}s\} \quad \Im\{\mathcal{R}s\}]$$

$$\begin{bmatrix} T_{11} & T_{12} \\ T_{12} & T_{22} \end{bmatrix}$$

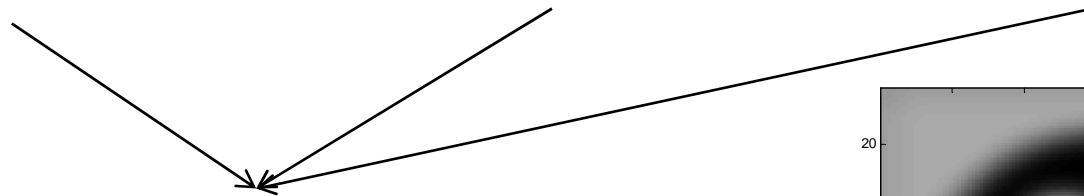
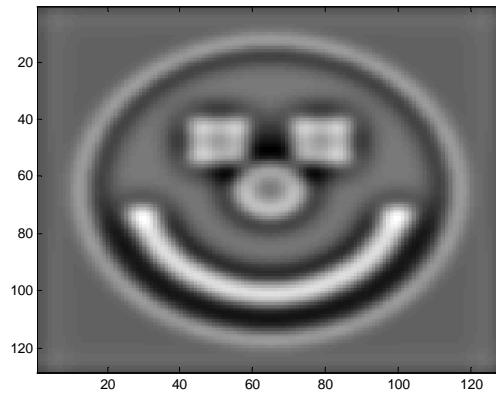
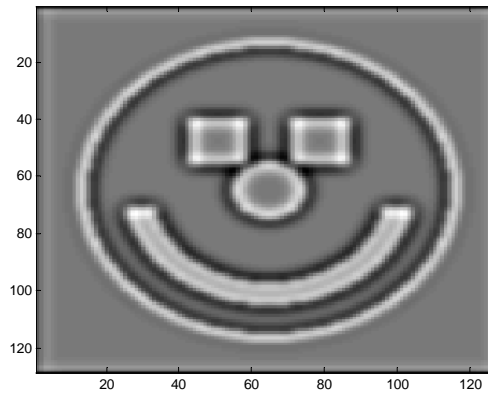
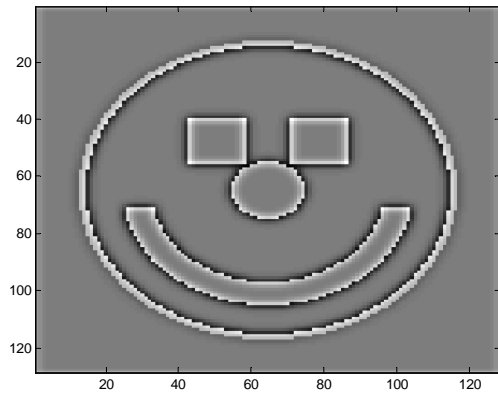
$$\theta_+ = \frac{1}{2} \arg\{T_{11} - T_{22} + j2T_{12}\}$$



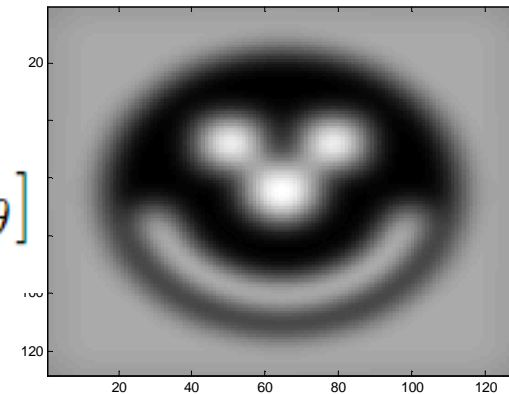


# Extension Multiéchelle : notion de passe-bande

Algorithme à trous



$$\mathbf{TR}[s](\mathbf{x}) = \mathbf{Ra}^{-1} [\mathbf{TH}[\mathbf{Ra}(\cdot, \theta)[s]]n_{\theta}]$$





# **Intégration de la couleur**

## **Structure locale couleur**

Thèse R. Soulard



## Structure locale couleur

Une norme et une orientation basées sur un modèle vectoriel

$$\underbrace{\begin{bmatrix} T_{11} & T_{12} \\ T_{12} & T_{22} \end{bmatrix}}_T$$

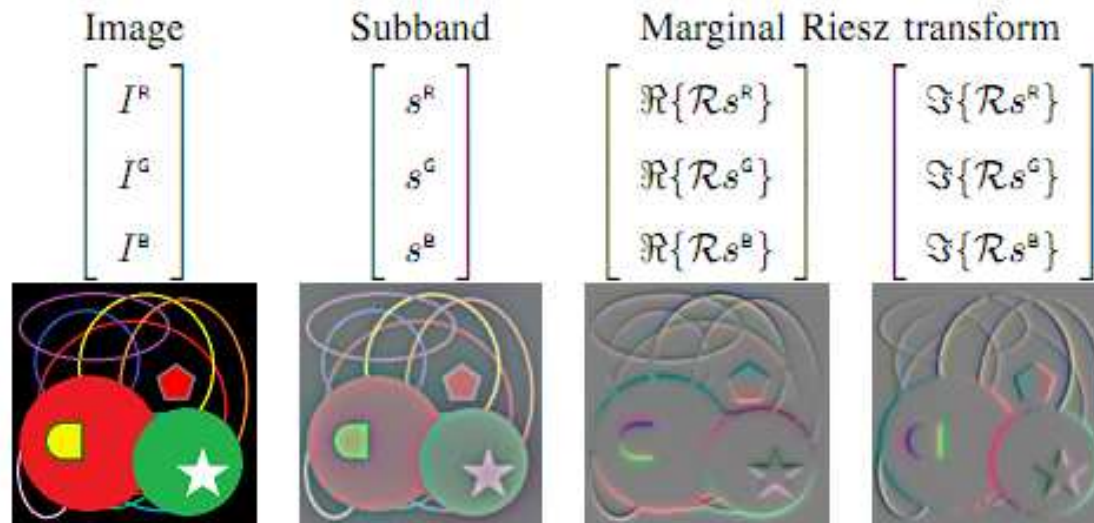
Combinaison des expressions marginales

$$\begin{aligned} T_{11} &= \left(\frac{\partial s^R}{\partial x_1}\right)^2 + \left(\frac{\partial s^G}{\partial x_1}\right)^2 + \left(\frac{\partial s^B}{\partial x_1}\right)^2 \\ T_{12} &= \frac{\partial s^R}{\partial x_1} \frac{\partial s^R}{\partial x_2} + \frac{\partial s^G}{\partial x_1} \frac{\partial s^G}{\partial x_2} + \frac{\partial s^B}{\partial x_1} \frac{\partial s^B}{\partial x_2} \\ T_{22} &= \left(\frac{\partial s^R}{\partial x_2}\right)^2 + \left(\frac{\partial s^G}{\partial x_2}\right)^2 + \left(\frac{\partial s^B}{\partial x_2}\right)^2 \end{aligned}$$

$$\mathcal{N}_\nabla = \sqrt{\lambda_+ + \lambda_-} = \sqrt{T_{11} + T_{22}} \quad \theta_\nabla = \frac{1}{2} \arg\{T_{11} - T_{22} + j2T_{12}\}$$



# Extension par l'approche « Tenseur de structure »



Gradient lissé

$$T_{\text{RZ}}(s) = h * [\Re\{\mathcal{R}s\} \ \Im\{\mathcal{R}s\}]^T [\Re\{\mathcal{R}s\} \ \Im\{\mathcal{R}s\}] \quad \Rightarrow \quad M(s) = T(s^R) + T(s^G) + T(s^B)$$

$$\mathcal{N} = \sqrt{|\mathcal{R}s^R|^2 + |\mathcal{R}s^G|^2 + |\mathcal{R}s^B|^2}$$

$$\theta_+ = \frac{1}{2} \arg \left\{ \sum_{c \in \{R,G,B\}} \Re\{\mathcal{R}s^c\}^2 - \Im\{\mathcal{R}s^c\}^2 + j \sum_{c \in \{R,G,B\}} 2\Re\{\mathcal{R}s^c\}\Im\{\mathcal{R}s^c\} \right\}$$



Caractéristique de Riesz couleur



# Signal monogénique : notion de phase en couleur ?

Phase  $\varphi(\mathbf{x}) = \left( \frac{\sqrt{\mathbf{TR}_1[s]^2(\mathbf{x}) + \mathbf{TR}_2[s]^2(\mathbf{x})}}{s(\mathbf{x})} \right)$

En couleur ? Utilisation de normes

$$\varphi_2(x) = \arg\{\|s(x)\| + j\|\mathcal{H}s(x)\|\}$$

En scalaire, introduction de la valeur absolue

$$s = \underbrace{\sqrt{s^2 + \mathcal{N}^2}}_A \cos\left(\underbrace{\arg\{s + j\mathcal{N}\}}_{\varphi \in [0; \pi[}\right)$$

$$= \underbrace{\sqrt{|s|^2 + \mathcal{N}^2}}_A \cos\left(\underbrace{\arg\{|s| + j\mathcal{N}\}}_{\varphi_2 \in [0; \frac{\pi}{2}[}\right) \underbrace{s/|s|}_{\text{“sign”}}$$

sign / $\varphi_2$	0	$\frac{\pi}{2}$
+		
-		



## Signal monogénique : notion de phase en couleur ?

---

$$s = \underbrace{\sqrt{\|s\|^2 + \mathcal{N}^2}}_A \cos \left( \underbrace{\arg\{\|s\| + j\mathcal{N}\}}_{\varphi_2} \right) \underbrace{\vec{u}}_{\text{'axis'}}$$

$$s_M^{\text{color}} = [s^R \ s^G \ s^B \ \mathcal{N}_{\mathcal{R}}]^T$$

Amplitude :  $A = \sqrt{\|s\|^2 + \mathcal{N}_{\mathcal{R}}^2} \in [0; +\infty[$

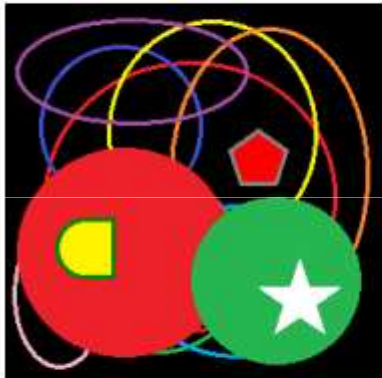
Phase :  $\varphi_2 = \arg\{\|s\| + j\mathcal{N}_{\mathcal{R}}\} \in [0; \frac{\pi}{2}[$

Axe couleur :  $\begin{cases} \alpha = \arg\{s^R + j\sqrt{(s^G)^2 + (s^B)^2}\} \in [0; \pi[ \\ \beta = \arg\{s^G + js^B\} \in [-\pi; \pi[ \end{cases}$

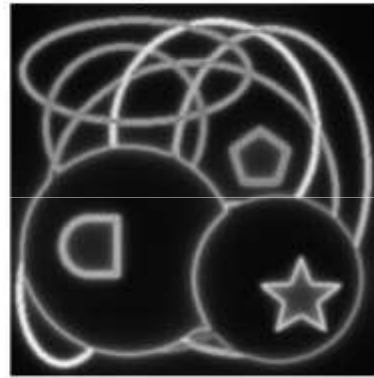


# Phase en couleur : angle + axe

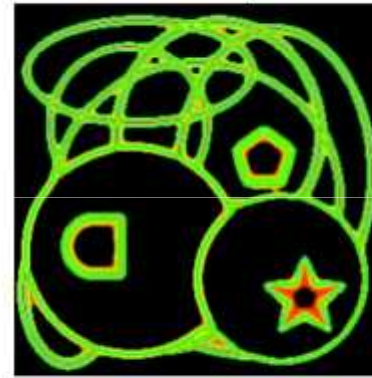
Color image  
(before bandpass filtering)



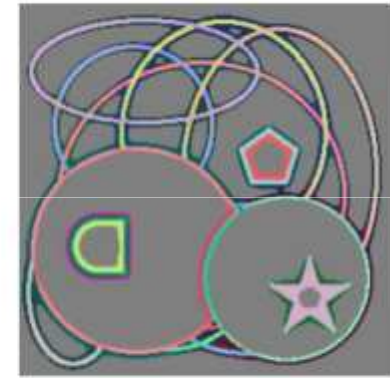
Amplitude  $A$



Phase  $\varphi_2$



Color axis  $\vec{u}$

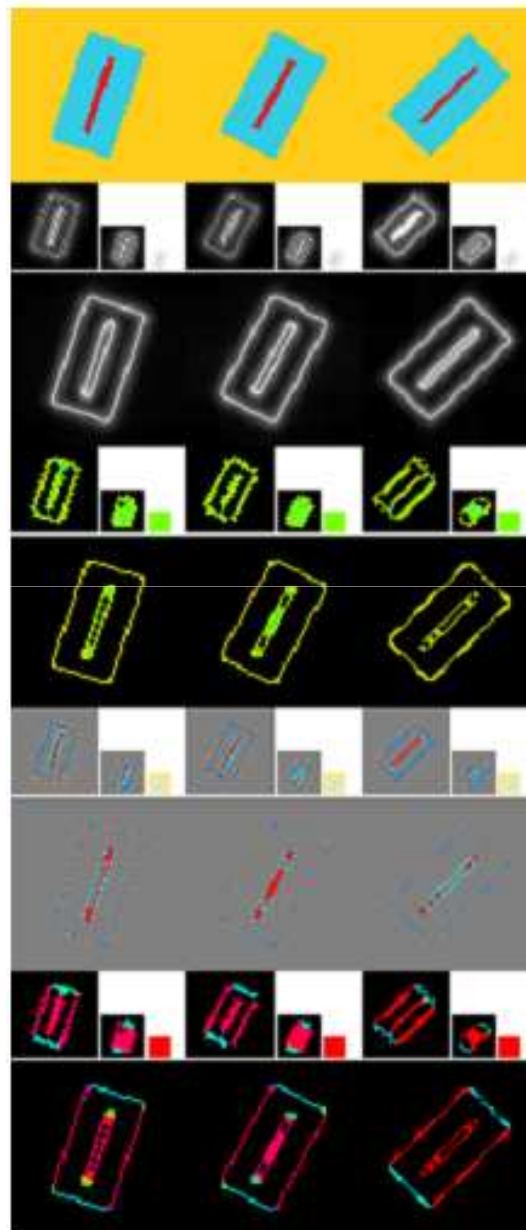


(Color pixels)



# Extension par l'approche « Tenseur de structure »

Descripteur couleur  
Multiéchelle  
Invariant



Amplitudes pour 3 échelles

Phase

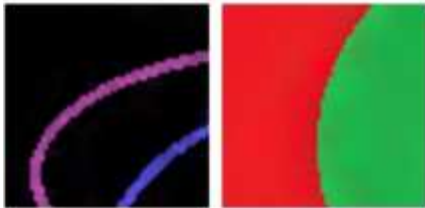
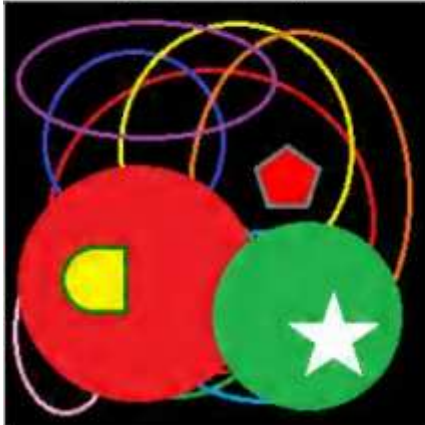
Axe couleur

Orientation

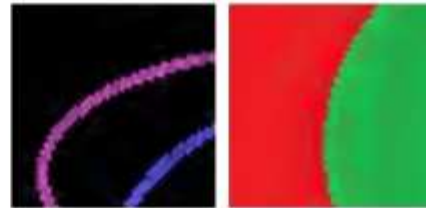


# Test par reconstruction partielle

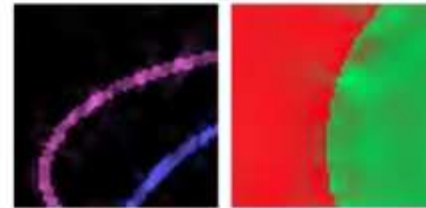
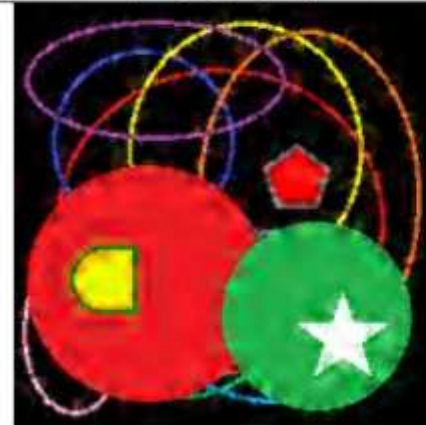
Correct  
(6, 2, 3, 4)



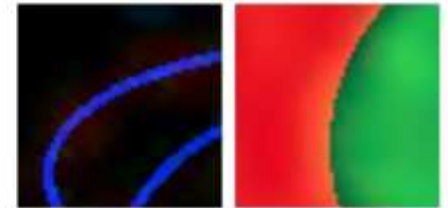
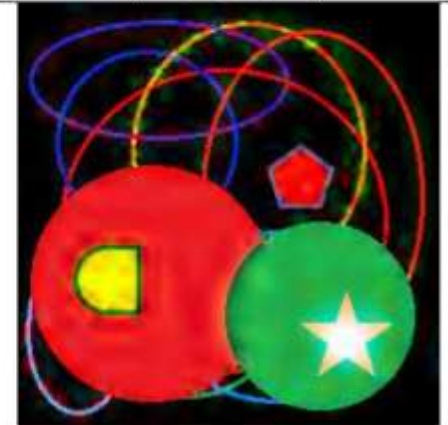
Poor amplitude  
(3, 2, 3, 4)



Poor phase  
(6, 1, 3, 4)



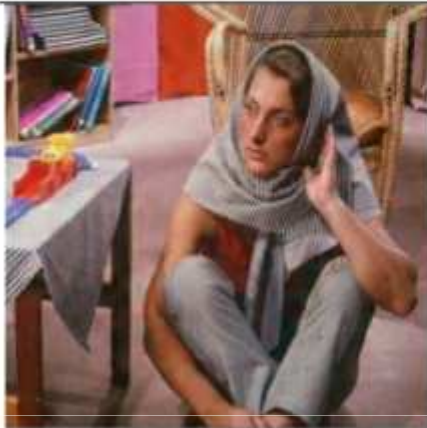
Poor color axis  
(6, 2, 1, 2)



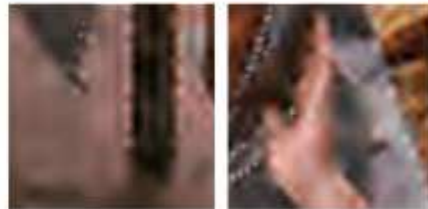


# Test par reconstruction partielle

Correct  
(6, 2, 3, 4)



Poor amplitude  
(3, 2, 3, 4)



Poor phase  
(6, 1, 3, 4)



Poor color axis  
(6, 2, 1, 2)





## Conclusion ?

---

Représentation monogénique : analyse locale avec l'information de phase

Importance de la transformée de Radon

Extension aux images « multibandes » à travers le lien avec les tenseurs de structures

Schéma numérique et information couleur